

## รายการอ้างอิง

- [1.] Bruce Gibbins. The role of antimicrobial silver nanotechnology. Medical device link, 2005.
- [2.] Micheal C.J. Bradford. A possible role for surface carbon during ethylene epoxidation over silver catalysts. Catalysis communications, 2001.
- [3.] Jixiong Yan, Wuhan, Antimicrobial yarn having nanosilver particles and methods for manufacturing the same, United States Patent, 2005.
- [4.] Ivan Sondi, Branka Salopek-sondi. Silver nanoparticles as antimicrobial agent: a case study on E. coli as a model for Gram-negative bacteria. Journal of colloid and interface science, 2004.
- [5.] ดุษฎี และวรกวิน. การศึกษาเทคนิคการผลิตผงโลหะเงินด้วยการใช้อัลตราโซนิก. วิทยานิพนธ์ปริญญาบัณฑิต. ภาควิชาวิศวกรรมโลหการ. จุฬาลงกรณ์มหาวิทยาลัย. 2547.
- [6.] J.M. Coulson, J.F. Richardson. Chemical engineering volume two. 3<sup>rd</sup> ed. Pergamon, 1978: 48, 74-76.
- [7.] Richard D. Gonzalez. Sol-Gel preparation of supported metal catalysts. Catalysis Today 35, 1997: 293-317.
- [8.] David A, Ward and Edmond I. Ko. Preparing Catalytic Materials by the Sol-Gel Method. Ind. Eng. Chem. Res. 34, 1995: 412-433.
- [9.] สถาพร. การศึกษาการจัดตั้งโรงงานและการเผาผนึกของผงโลหะเงินที่ผลิตด้วยวิธี SOL-GEL. วิทยานิพนธ์ปริญญาโทบัณฑิต. ภาควิชาวิศวกรรมโลหการ. จุฬาลงกรณ์มหาวิทยาลัย. 2548.
- [10.] E.R. Klar. Powder Metallurgy. ASM Handbook. 9<sup>th</sup> ed. Vol.7.
- [11.] Randall M. German. Injection Molding of Metals and Ceramics. Metal Powder Industries Federation. New Jersey, Princeton: 1997.
- [12.] Wu Songping, Meng Shuyuan. Preparation of ultrafine silver powder using ascorbic acid as reducing agent and its application in MLCI. Materials chemistry and physics, 2008: 423-427.

- [13.] H.H. Nersisyan, J.H. Lee, H.T. son. A new and effective chemical reduction method for preparation of nanosized silver powder and colloid dispersion. Materials Research Bulletin, 2003: 949-956.
- [14.] P.K. Khanna, V.V.V.S. Subbarao. Nanosized silver powder via reduction of silver nitrate by sodium formaldehydesulfoxylate in acidic pH medium. Materials Letters, 2003: 2242-2245.
- [15.] Wasyl Kunda. Process for the production of silver powder form silver chloride, sulphate or sulphide. United States Patent, 1983.
- [16.] Larry J. Gaudino. Cemented silver powder. United States Patent, 1988.
- [17.] Yadong Li, Xiangfeng Duan. Nanocrystalline Silver Particles: Synthesis, Agglomeration, and Sputtering Induced by Electron Beam. Journal of Colloid and Interface Science 209, 1999: 347-349.
- [18.] J. Widoniak. Silver particle tailoring of shapes and sizes. Colloids and Surfaces A Physicochem. Eng. 2005: 340-344.
- [19.] Boehning. Silver catalyst and its preparation. United States Patent. 1988.
- [20.] Edward Lester. Reaction engineering: The supercritical water hydrothermal synthesis of nano-particles. J. of Supercritical Fluids. 2006: 209-214.
- [21.] B.D. Cullity. Elements of X-Ray diffraction. Addison-Wesley publishing company Inc.: 1956.

ภาคผนวก

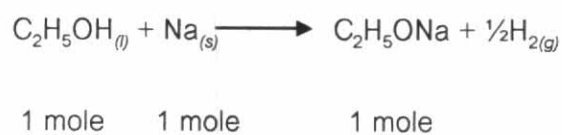
## ภาคผนวก ก

## การคำนวณหาปริมาณสารเคมีที่ใช้

สารตั้งต้นซิลเวอร์ซัลเฟต ( $\text{Ag}_2\text{SO}_4$ ) 10 กรัม



สารตั้งต้น  $\text{Ag}_2\text{SO}_4$  1 mole ต้องใช้  $\text{C}_2\text{H}_5\text{ONa}$  2 moles



$\text{Ag}_2\text{SO}_4$  ( $M_w = 311.87 \text{ g}\cdot\text{mol}^{-1}$ ) 10 กรัม คิดเป็น  $10 \text{ g} / 311.87 \text{ g}\cdot\text{mol}^{-1} = 0.032 \text{ mol}$

$$0.032 \text{ mole}_{(\text{Ag}_2\text{SO}_4)} \times \frac{2 \text{ mole}_{(\text{Na})}}{1 \text{ mole}_{(\text{Ag}_2\text{SO}_4)}} = 0.064 \text{ mole}_{(\text{Na})}$$

ดังนั้นใช้ Na ( $M_w = 22.99 \text{ g}\cdot\text{mol}^{-1}$ ) ในการทำปฏิกิริยาเป็นน้ำหนัก

$$= 0.064 \text{ mole} \times 22.99 \text{ g}\cdot\text{mol}^{-1} = 1.47 \text{ g}$$

## ภาคผนวก ข

## วิธีการหาค่าเฉลี่ย และค่าความเชื่อมั่นในการวัดขนาดจากภาพถ่ายจุลภาค

การหาค่าเฉลี่ยของขนาดผงเงิน และอนุภาคเงินทำโดยวัดขนาดจากภาพถ่ายจุลภาคซึ่งถ่ายจากเครื่อง SEM โดยใช้โปรแกรม SEMAFORE ช่วยในการวัดขนาด การวัดขนาดใช้วิธีการวัดตามมาตรฐาน ASTM E20 ใช้วิธีวัดแบบ Martin's diameter ซึ่งวิธีนี้วัดขนาดโดยลากเส้นตรงแบ่งพื้นที่ของผงเงินหรืออนุภาคเงินบนภาพถ่ายจุลภาคออกเป็นสองส่วนเท่ากัน และในทิศทางเดียวกัน จากนั้นนำค่าที่ได้มาหาขนาดเฉลี่ย ( $\bar{X}$ ) โดยขนาดเฉลี่ยหาได้จาก

$$\bar{X} = \frac{\sum_{i=1}^n X_i}{n}$$

|       |           |   |                                 |
|-------|-----------|---|---------------------------------|
| เมื่อ | $n$       | = | จำนวนครั้งการวัด                |
|       | $X$       | = | ค่าจากการวัดปริมาณแต่ละครั้ง    |
|       | $\bar{X}$ | = | ค่าเฉลี่ยเลขคณิตของการวัดปริมาณ |

จากนั้นทำการหาขอบเขตความเชื่อมั่นของขนาดผงเฉลี่ย และขนาดอนุภาคเฉลี่ยสามารถคำนวณได้ดังนี้

ทำการหาส่วนเบี่ยงเบนมาตรฐาน ( $S$ ) ซึ่งคำนวณได้จากสมการ

$$S = \left\{ \left( \frac{1}{n-1} \right) \sum_{i=1}^n [\bar{X} - X]^2 \right\}^{1/2}$$

หาค่าความเชื่อมั่นโดยกำหนดระดับค่าความเชื่อมั่น 95% จะได้ขอบเขตความเชื่อมั่น ( $CI$ ) ของค่าเฉลี่ยเป็นไปตามสมการ

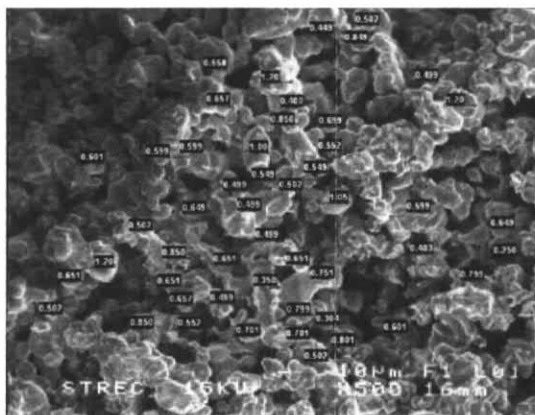
$$CI = \pm 1.96 \left( \frac{S}{\sqrt{n}} \right)$$

ดังนั้นขนาดเฉลี่ยจะมีค่าเท่ากับ  $\bar{X} \pm CI$

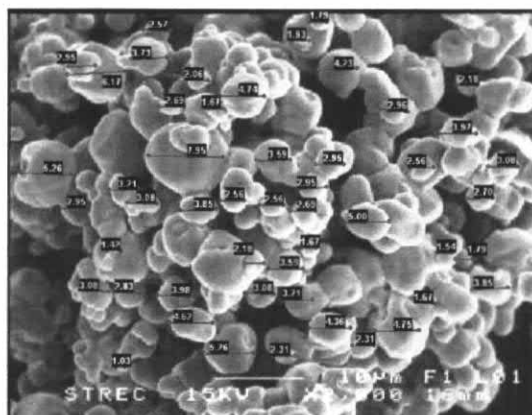
นอกจากนี้สามารถคำนวณหาเปอร์เซ็นต์ความคลาดเคลื่อนได้ดังนี้

$$\%Error = \frac{CI}{\bar{X}} \times 100$$

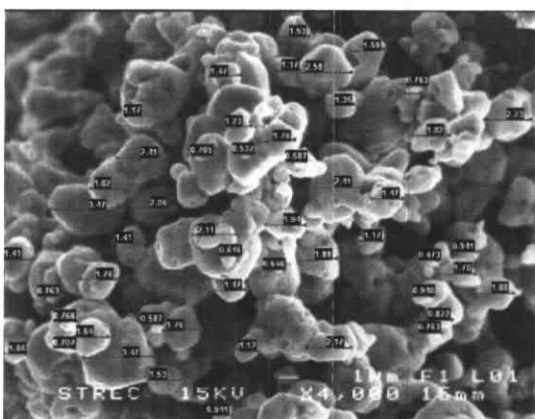
ตัวอย่างการวัดขนาดซิลเวอร์ซิลเฟตจากภาพถ่ายจุลภาค



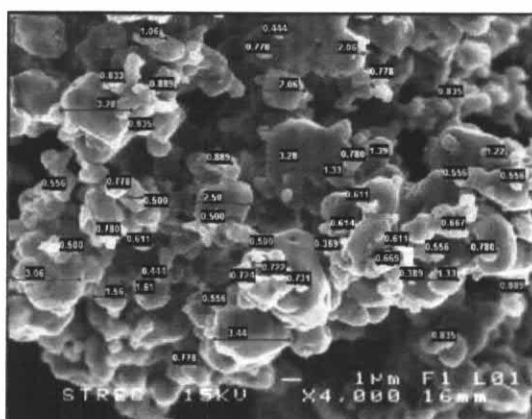
(1) ตัวอย่างการวัดขนาด  
ซิลเวอร์ซิลเฟตไม่บด



(2) ตัวอย่างการวัดขนาด  
ซิลเวอร์ซิลเฟตบด 5 ชั่วโมง



(3) ตัวอย่างการวัดขนาด  
ซิลเวอร์ซิลเฟตบด 10 ชั่วโมง

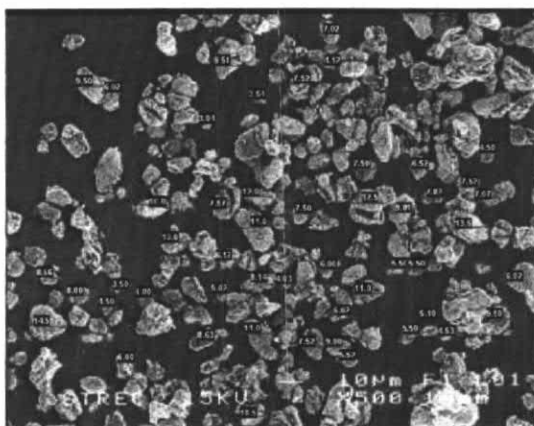


(4) ตัวอย่างการวัดขนาด  
ซิลเวอร์ซิลเฟตบด 20 ชั่วโมง

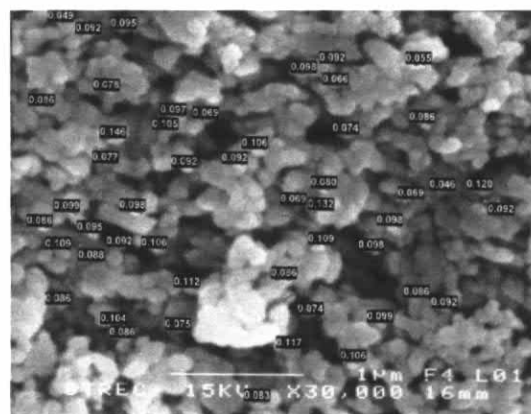
รูปที่ ข.1 ตัวอย่างการวัดขนาดซิลเวอร์ซิลเฟต

(1) ไม่บด (2) บด 5 ชั่วโมง (3) บด 10 ชั่วโมง และ (4) บด 20 ชั่วโมง

ตัวอย่างการวัดขนาด ผงเงิน และอนุภาคเงินจากภาพถ่ายจุลภาค



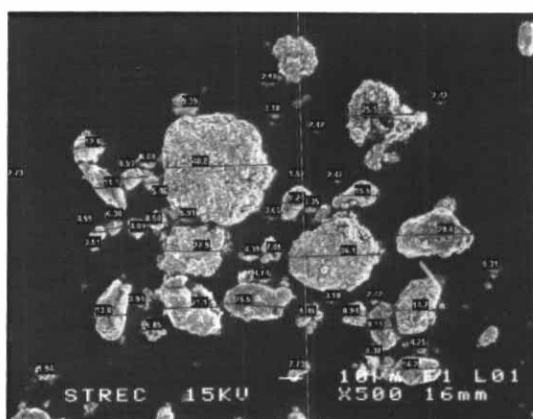
(1) ตัวอย่างการวัดขนาดผงเงิน



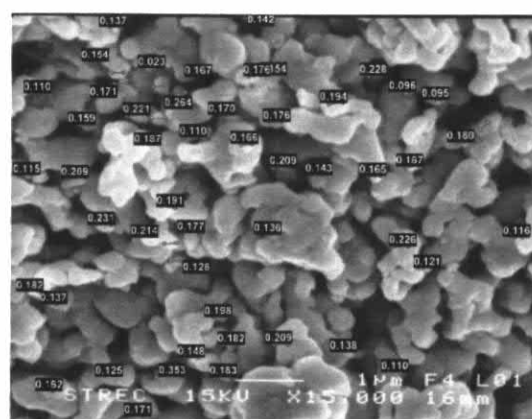
(2) ตัวอย่างการวัดขนาดอนุภาคเงิน

รูปที่ ข.2 การทดลองที่ 1 สารตั้งต้นขนาด 4.35 ไมครอน (ไม่บด)

ทำปฏิกิริยาที่อุณหภูมิ 150°C เป็นเวลา 30 นาที



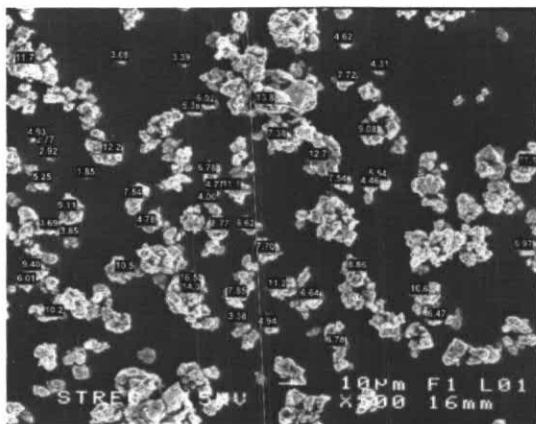
(1) ตัวอย่างการวัดขนาดผงเงิน



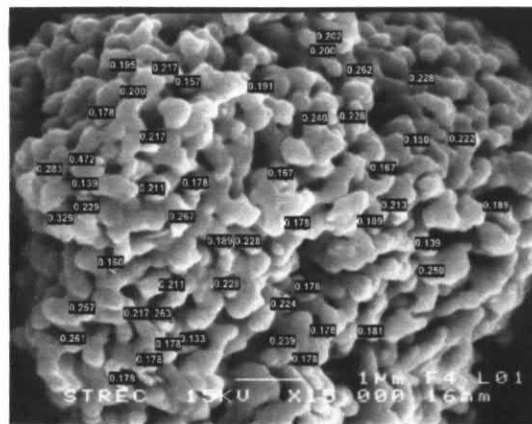
(2) ตัวอย่างการวัดขนาดอนุภาคเงิน

รูปที่ ข.3 การทดลองที่ 2 สารตั้งต้นขนาด 2.88 ไมครอน (บด 5 ชั่วโมง)

ทำปฏิกิริยาที่อุณหภูมิ 150°C เป็นเวลา 30 นาที



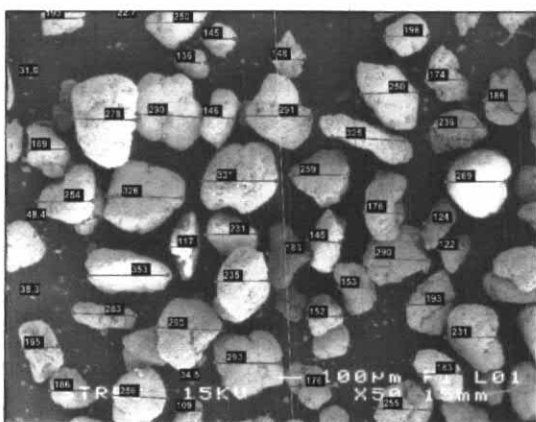
(1) ตัวอย่างการวัดขนาดผงเงิน



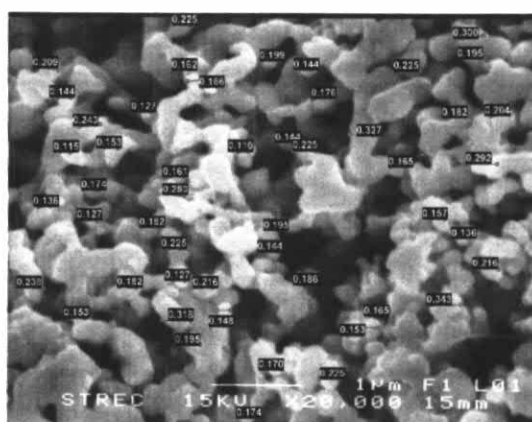
(2) ตัวอย่างการวัดขนาดอนุภาคเงิน

รูปที่ ข.4 การทดลองที่ 3 สารตั้งต้นขนาด 1.35 ไมครอน (บด 10 ชั่วโมง)

ทำปฏิกิริยาที่อุณหภูมิ 150°C เป็นเวลา 30 นาที



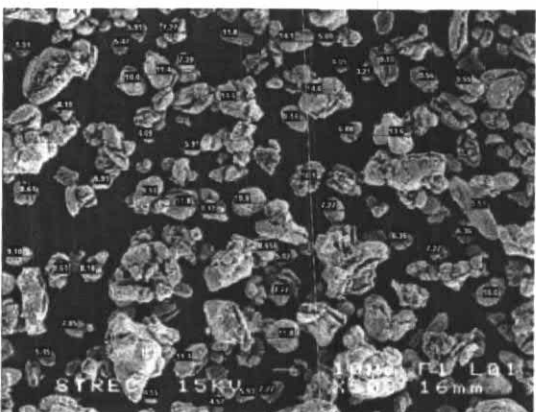
(1) ตัวอย่างการวัดขนาดผงเงิน



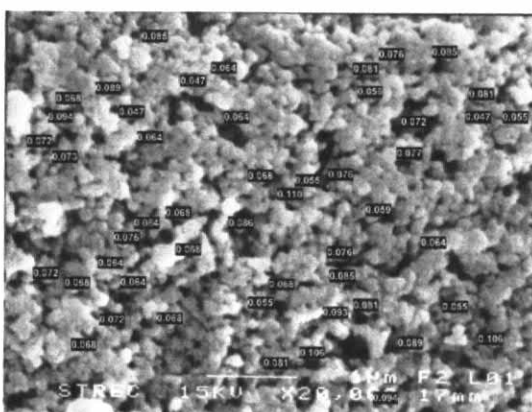
(2) ตัวอย่างการวัดขนาดอนุภาคเงิน

รูปที่ ข.5 การทดลองที่ 4 สารตั้งต้นขนาด 0.81 ไมครอน (บด 20 ชั่วโมง)

ทำปฏิกิริยาที่อุณหภูมิ 150°C เป็นเวลา 30 นาที



(1) ตัวอย่างการวัดขนาดผงเงิน

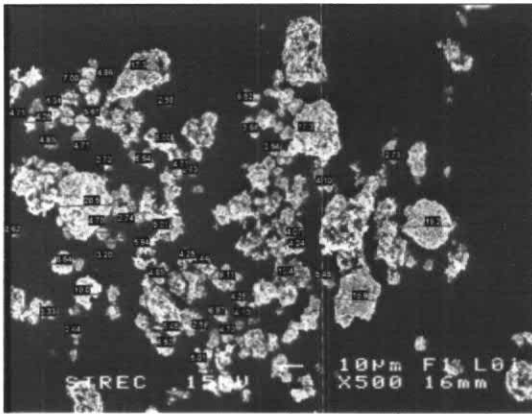


(2) ตัวอย่างการวัดขนาดอนุภาคเงิน

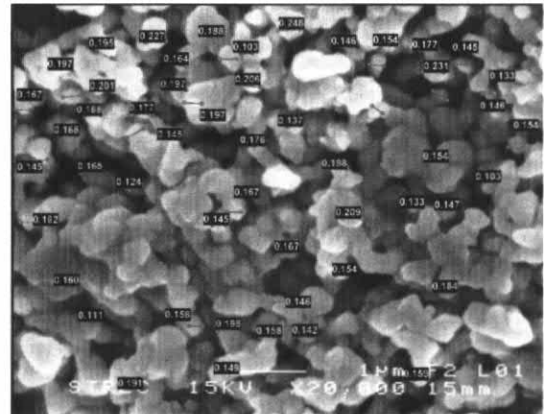
รูปที่ ข.6 การทดลองที่ 5 สารตั้งต้นขนาด 4.35 ไมครอน (ไม่บด)

ทำปฏิกิริยาที่อุณหภูมิ 150°C เป็นเวลา 1 ชั่วโมง



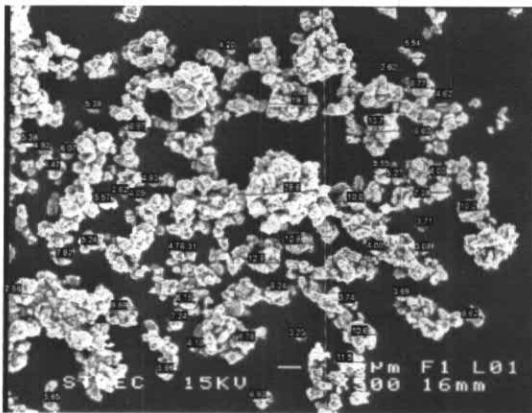


(1) ตัวอย่างการวัดขนาดผงเงิน

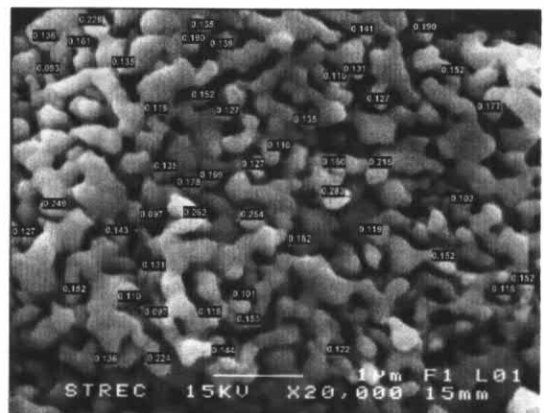


(2) ตัวอย่างการวัดขนาดอนุภาคเงิน

รูปที่ ข.7 การทดลองที่ 6 สารตั้งต้นขนาด 2.88 ไมครอน (บด 5 ชั่วโมง)  
ทำปฏิกิริยาที่อุณหภูมิ 150°C เป็นเวลา 1 ชั่วโมง

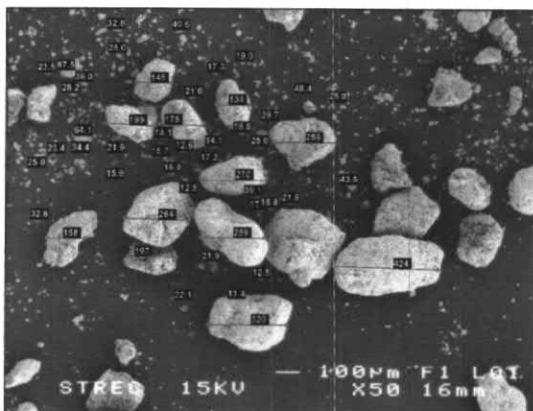


(1) ตัวอย่างการวัดขนาดผงเงิน

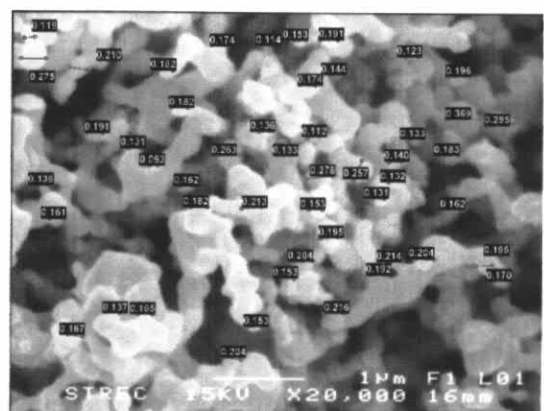


(2) ตัวอย่างการวัดขนาดอนุภาคเงิน

รูปที่ ข.8 การทดลองที่ 7 สารตั้งต้นขนาด 1.35 ไมครอน (บด 10 ชั่วโมง)  
ทำปฏิกิริยาที่อุณหภูมิ 150°C เป็นเวลา 1 ชั่วโมง

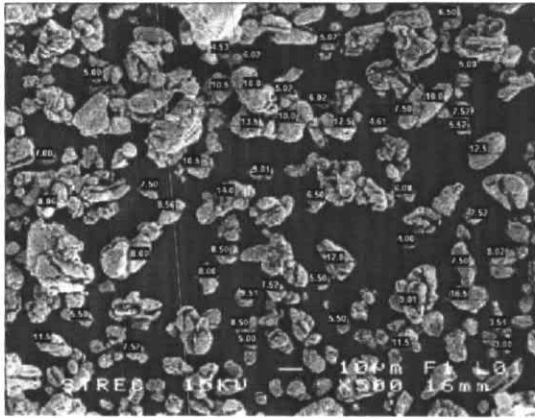


(1) ตัวอย่างการวัดขนาดผงเงิน

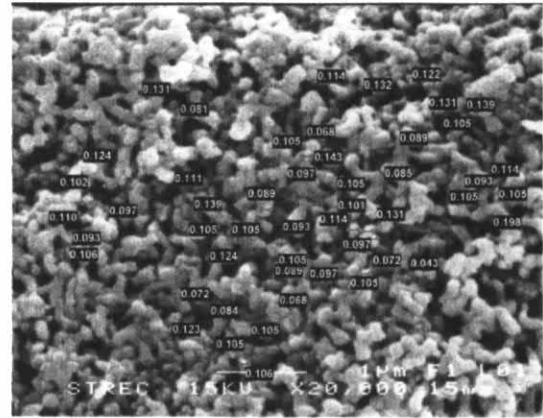


(2) ตัวอย่างการวัดขนาดอนุภาคเงิน

รูปที่ ข.9 การทดลองที่ 8 สารตั้งต้นขนาด 0.81 ไมครอน (บด 20 ชั่วโมง)  
ทำปฏิกิริยาที่อุณหภูมิ 150°C เป็นเวลา 1 ชั่วโมง



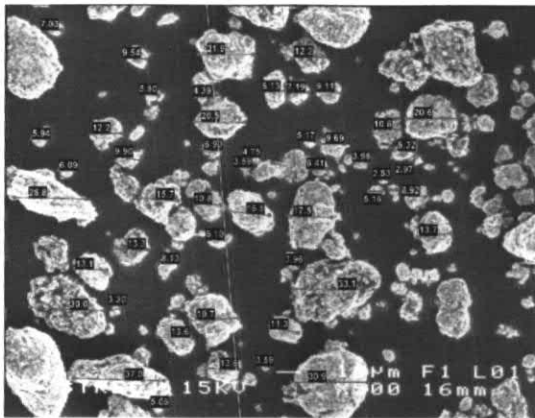
(1) ตัวอย่างการวัดขนาดผงเงิน



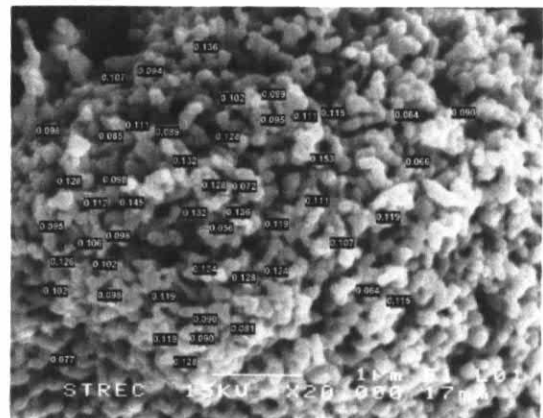
(2) ตัวอย่างการวัดขนาดอนุภาคเงิน

รูปที่ ข.10 การทดลองที่ 9 สารตั้งต้นขนาด 4.35 ไมครอน (ไม่บด)

ทำปฏิกิริยาที่อุณหภูมิ 180°C เป็นเวลา 30 นาที



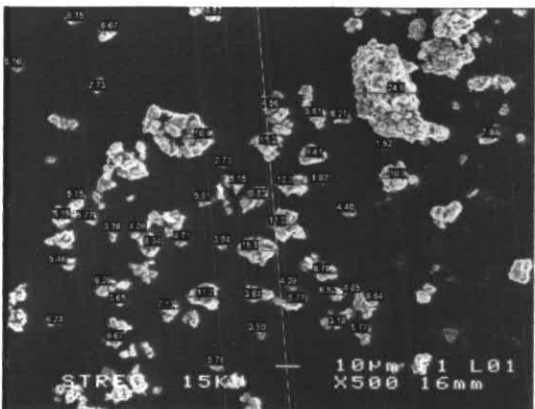
(1) ตัวอย่างการวัดขนาดผงเงิน



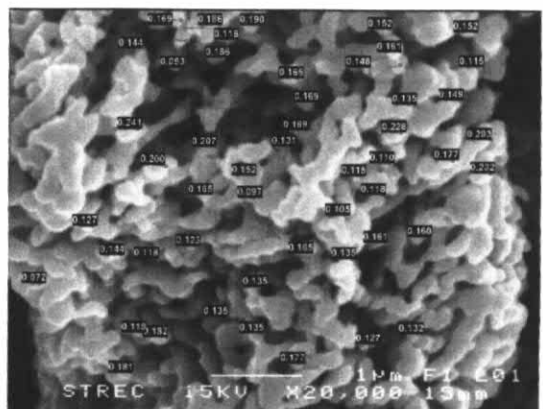
(2) ตัวอย่างการวัดขนาดอนุภาคเงิน

รูปที่ ข.11 การทดลองที่ 10 สารตั้งต้นขนาด 2.88 ไมครอน (บด 5 ชั่วโมง)

ทำปฏิกิริยาที่อุณหภูมิ 180°C เป็นเวลา 30 นาที



(1) ตัวอย่างการวัดขนาดผงเงิน



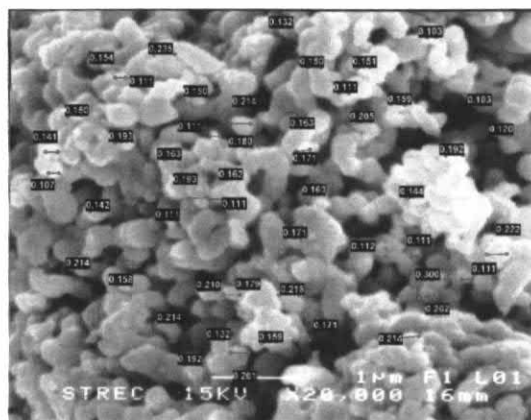
(2) ตัวอย่างการวัดขนาดอนุภาคเงิน

รูปที่ ข.12 การทดลองที่ 11 สารตั้งต้นขนาด 1.35 ไมครอน (บด 10 ชั่วโมง)

ทำปฏิกิริยาที่อุณหภูมิ 180°C เป็นเวลา 30 นาที

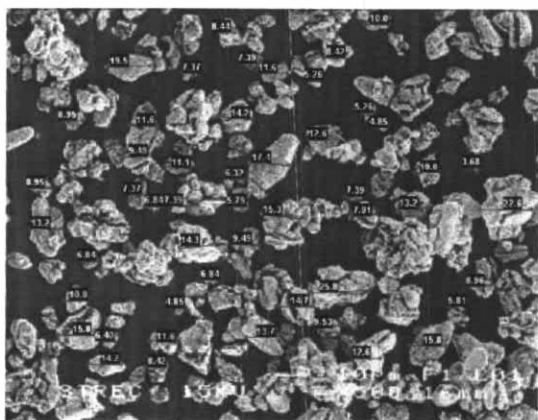


(1) ตัวอย่างการวัดขนาดผงเงิน

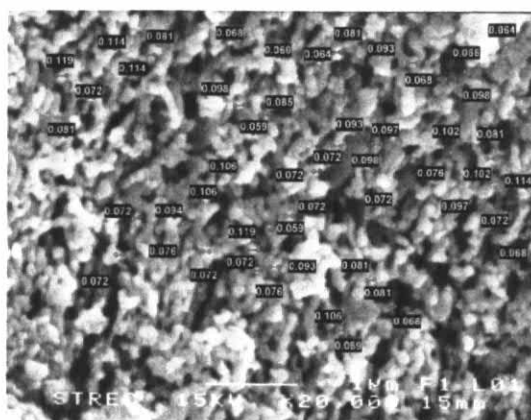


(2) ตัวอย่างการวัดขนาดอนุภาคเงิน

รูปที่ ข.13 การทดลองที่ 12 สารตั้งต้นขนาด 0.81 ไมครอน (บด 20 ชั่วโมง)  
ทำปฏิกิริยาที่อุณหภูมิ 180°C เป็นเวลา 30 นาที

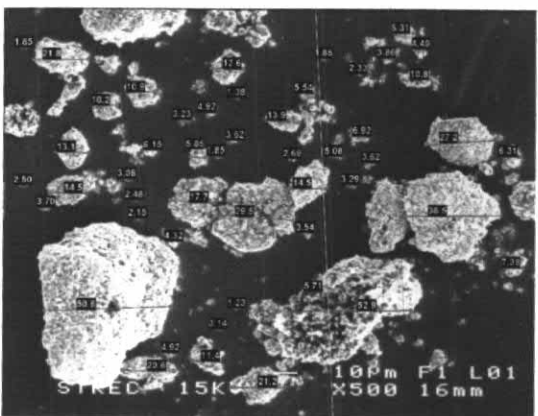


(1) ตัวอย่างการวัดขนาดผงเงิน

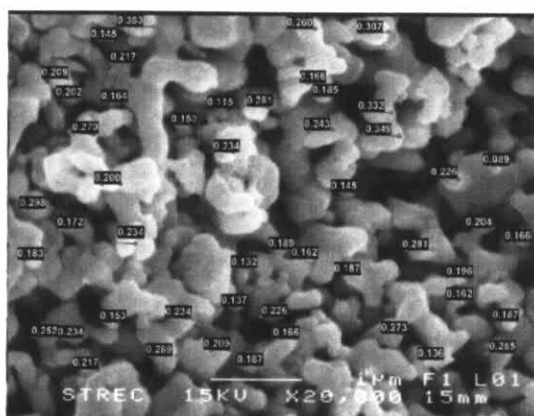


(2) ตัวอย่างการวัดขนาดอนุภาคเงิน

รูปที่ ข.14 การทดลองที่ 13 สารตั้งต้นขนาด 4.35 ไมครอน (ไม่บด)  
ทำปฏิกิริยาที่อุณหภูมิ 180°C เป็นเวลา 1 ชั่วโมง

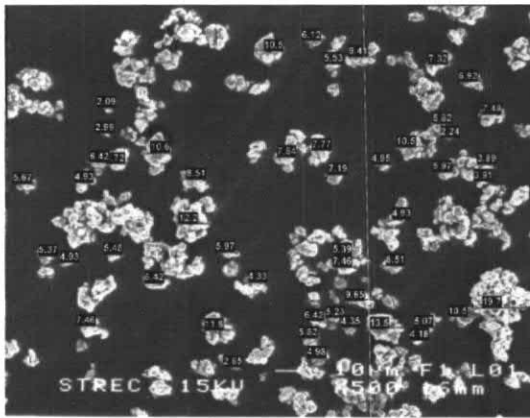


(1) ตัวอย่างการวัดขนาดผงเงิน

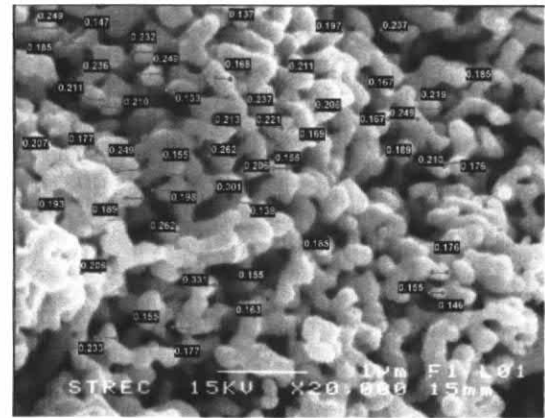


(2) ตัวอย่างการวัดขนาดอนุภาคเงิน

รูปที่ ข.15 การทดลองที่ 14 สารตั้งต้นขนาด 2.88 ไมครอน (บด 5 ชั่วโมง)  
ทำปฏิกิริยาที่อุณหภูมิ 180°C เป็นเวลา 1 ชั่วโมง



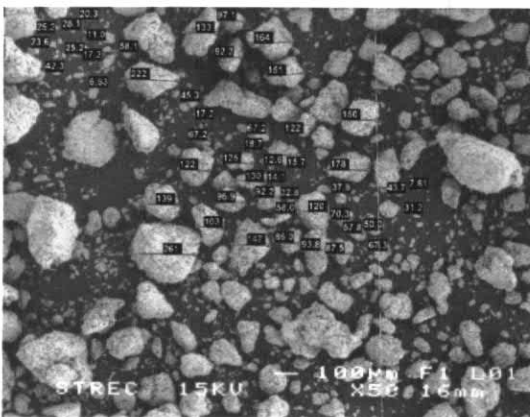
(1) ตัวอย่างการวัดขนาดผงเงิน



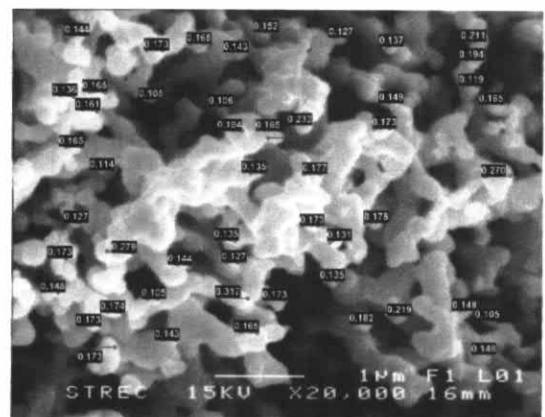
(2) ตัวอย่างการวัดขนาดอนุภาคเงิน

รูปที่ ข.16 การทดลองที่ 15 สารตั้งต้นขนาด 1.35 ไมครอน (บด 10 ชั่วโมง)

ทำปฏิกิริยาที่อุณหภูมิ 180°C เป็นเวลา 1 ชั่วโมง



(1) ตัวอย่างการวัดขนาดผงเงิน



(2) ตัวอย่างการวัดขนาดอนุภาคเงิน

รูปที่ ข.17 การทดลองที่ 16 สารตั้งต้นขนาด 0.81 ไมครอน (บด 20 ชั่วโมง)

ทำปฏิกิริยาที่อุณหภูมิ 180°C เป็นเวลา 1 ชั่วโมง

## ตัวอย่างการคำนวณหาค่าเฉลี่ย ค่าความเชื่อมั่น และเปอร์เซ็นต์ความคลาดเคลื่อน

ตารางที่ ข.1 แสดงขนาดของผงเงินที่วัดได้จากการทดลองที่ 1 จำนวน (n) 500 ค่า

|       |       |       |       |       |       |       |       |
|-------|-------|-------|-------|-------|-------|-------|-------|
| 11.90 | 10.50 | 5.00  | 9.19  | 9.18  | 12.70 | 9.22  | 7.43  |
| 7.91  | 3.61  | 4.61  | 11.50 | 5.15  | 11.70 | 13.20 | 4.92  |
| 14.00 | 7.11  | 11.20 | 8.90  | 10.30 | 6.50  | 9.30  | 6.50  |
| 6.36  | 7.11  | 14.00 | 6.73  | 13.00 | 4.30  | 9.60  | 4.72  |
| 5.00  | 7.07  | 8.54  | 4.03  | 11.10 | 8.63  | 13.50 | 5.70  |
| 3.91  | 11.40 | 4.03  | 15.80 | 5.52  | 7.11  | 4.72  | 10.50 |
| 6.95  | 9.01  | 10.50 | 5.32  | 5.70  | 4.03  | 6.40  | 12.50 |
| 11.80 | 5.83  | 3.64  | 6.40  | 7.11  | 7.28  | 6.71  | 9.01  |
| 14.90 | 5.00  | 11.30 | 8.90  | 7.83  | 13.20 | 13.50 | 9.39  |
| 18.40 | 8.75  | 15.60 | 5.00  | 4.12  | 6.36  | 2.55  | 9.92  |
| 13.80 | 11.60 | 26.50 | 2.12  | 5.70  | 12.70 | 11.50 | 15.00 |
| 22.70 | 13.60 | 17.50 | 11.00 | 7.07  | 11.20 | 15.10 | 15.70 |
| 4.03  | 12.40 | 7.50  | 6.95  | 2.55  | 17.70 | 7.83  | 5.66  |
| 10.70 | 11.40 | 8.50  | 6.36  | 9.18  | 4.27  | 7.43  | 10.60 |
| 11.20 | 12.20 | 21.00 | 5.70  | 9.60  | 10.00 | 9.22  | 5.66  |
| 7.11  | 11.50 | 9.19  | 10.40 | 5.41  | 3.00  | 10.40 | 4.50  |
| 12.90 | 14.90 | 7.91  | 8.20  | 8.85  | 8.50  | 19.50 | 16.30 |
| 6.26  | 10.40 | 9.96  | 9.34  | 8.60  | 7.38  | 12.20 | 5.82  |
| 7.00  | 9.92  | 9.90  | 9.12  | 10.30 | 13.90 | 14.10 | 4.19  |
| 9.51  | 11.10 | 7.43  | 15.50 | 8.14  | 9.62  | 5.85  | 11.50 |
| 18.70 | 4.74  | 13.80 | 10.80 | 3.91  | 13.00 | 3.75  | 5.70  |
| 9.01  | 8.08  | 8.56  | 7.50  | 16.80 | 5.50  | 10.20 | 7.95  |
| 11.50 | 7.28  | 7.63  | 7.81  | 5.00  | 10.40 | 8.13  | 5.70  |
| 4.47  | 12.00 | 7.50  | 9.34  | 5.00  | 11.00 | 16.80 | 7.50  |
| 24.90 | 8.20  | 6.71  | 7.50  | 12.40 | 6.80  | 6.18  | 11.00 |
| 9.01  | 4.74  | 9.55  | 24.30 | 11.80 | 4.55  | 10.60 | 5.83  |
| 22.40 | 6.02  | 10.10 | 7.11  | 15.00 | 17.00 | 13.40 | 9.34  |
| 14.80 | 2.92  | 12.00 | 13.50 | 8.32  | 13.70 | 11.60 | 15.20 |
| 6.80  | 2.55  | 3.54  | 7.28  | 11.10 | 14.40 | 8.38  | 4.03  |
| 11.00 | 10.00 | 10.10 | 4.03  | 13.10 | 7.19  | 8.19  | 3.50  |
| 10.50 | 8.51  | 7.57  | 16.50 | 18.50 | 6.46  | 4.27  | 9.71  |
| 13.60 | 15.30 | 3.81  | 8.75  | 4.55  | 3.55  | 9.22  | 12.50 |

|       |       |       |       |       |       |       |       |
|-------|-------|-------|-------|-------|-------|-------|-------|
| 5.85  | 9.55  | 11.00 | 20.90 | 6.10  | 7.33  | 3.64  | 9.50  |
| 9.62  | 7.07  | 7.07  | 12.70 | 8.19  | 11.80 | 5.32  | 9.49  |
| 15.30 | 11.50 | 10.00 | 7.43  | 4.48  | 8.46  | 5.32  | 9.18  |
| 7.16  | 7.28  | 7.63  | 2.45  | 4.29  | 1.41  | 10.10 | 8.63  |
| 9.92  | 2.50  | 5.83  | 7.40  | 7.40  | 5.32  | 11.50 | 3.91  |
| 6.52  | 7.62  | 7.16  | 5.82  | 9.66  | 7.50  | 7.52  | 8.14  |
| 6.71  | 5.85  | 16.10 | 3.21  | 9.66  | 8.02  | 5.00  | 3.91  |
| 8.06  | 13.80 | 11.40 | 11.60 | 11.40 | 10.40 | 3.61  | 4.72  |
| 8.74  | 4.07  | 9.06  | 13.00 | 11.20 | 4.30  | 5.59  | 7.43  |
| 10.40 | 8.46  | 6.76  | 17.00 | 7.63  | 15.00 | 8.14  | 19.90 |
| 7.33  | 4.75  | 6.33  | 10.00 | 4.95  | 1.41  | 19.40 | 8.14  |
| 16.10 | 9.83  | 7.40  | 12.00 | 4.30  | 8.20  | 13.10 | 13.20 |
| 7.34  | 12.00 | 10.60 | 14.80 | 5.39  | 6.71  | 6.80  | 12.50 |
| 2.32  | 5.18  | 7.29  | 11.70 | 5.66  | 10.50 | 8.50  | 8.86  |
| 5.91  | 7.11  | 6.51  | 7.62  | 11.00 | 7.21  | 8.90  | 9.66  |
| 24.30 | 8.34  | 6.12  | 10.60 | 11.70 | 8.73  | 15.80 | 13.40 |
| 8.62  | 11.90 | 9.36  | 11.00 | 5.39  | 8.14  | 10.00 | 5.70  |
| 9.76  | 7.19  | 7.82  | 5.59  | 4.50  | 7.50  | 6.02  | 8.51  |
| 10.50 | 14.10 | 9.97  | 6.43  | 6.52  | 13.30 | 7.21  | 4.95  |
| 6.95  | 10.50 | 10.80 | 4.48  | 14.40 | 9.71  | 9.50  | 11.90 |
| 9.19  | 9.34  | 3.91  | 9.66  | 8.54  | 4.27  | 19.20 | 7.78  |
| 5.66  | 13.40 | 14.60 | 3.16  | 4.12  | 5.59  | 6.02  | 9.22  |
| 5.52  | 11.20 | 10.00 | 7.52  | 7.50  | 8.56  | 9.55  | 5.32  |
| 9.62  | 14.50 | 4.68  | 6.00  | 9.62  | 5.85  | 5.15  | 6.52  |
| 9.43  | 7.50  | 9.37  | 4.12  | 9.18  | 9.30  | 13.10 | 10.30 |
| 22.80 | 6.51  | 6.95  | 7.52  | 3.81  | 3.50  | 5.50  | 4.61  |
| 10.50 | 13.40 | 4.03  | 17.50 | 10.30 | 6.18  | 10.30 | 11.20 |
| 8.51  | 8.18  | 14.00 | 21.40 | 11.40 | 7.83  | 3.50  | 14.00 |
| 12.40 | 7.07  | 17.50 | 4.74  | 8.06  | 17.90 | 13.10 | 8.54  |
| 8.73  | 12.60 | 4.30  | 18.10 | 11.60 | 5.00  | 2.12  | 4.12  |
| 9.46  | 7.46  | 11.40 | 9.55  |       |       |       |       |

ค่าเฉลี่ย ( $\bar{X}$ ) = 9.13 ไมครอน

จำนวนข้อมูล ( $n$ ) = 500

ค่าส่วนเบี่ยงเบนมาตรฐาน ( $S$ ) = 4.13

- หาค่าความน่าเชื่อถือ ( $CI$ ) ได้

$$CI = \pm 1.96 \frac{4.13}{\sqrt{500}}$$

$$= 0.36$$

ดังนั้นในการทดลองที่ 1 มีช่วงความเชื่อมั่นของค่าเฉลี่ย  $9.13 \pm 0.36$

- หาเปอร์เซ็นต์ความคลาดเคลื่อน (% Error) ได้

$$\%Error = \frac{0.36}{9.13} \times 100$$

$$= 3.96 \%$$

ตารางที่ ข.2 แสดงขนาดสารตั้งต้นเฉลี่ยที่ได้จากการวัดขนาดจากภาพถ่ายจุลภาค

| สารตั้งต้น                  | ค่าเฉลี่ย | ส่วนเบี่ยงเบนมาตรฐาน | ค่าความเชื่อมั่น | % Error |
|-----------------------------|-----------|----------------------|------------------|---------|
| ซิลเวอร์ซัลเฟตไม่บด         | 4.35      | 3.71                 | 0.33             | 7.48    |
| ซิลเวอร์ซัลเฟตบด 5 ชั่วโมง  | 2.88      | 1.06                 | 0.09             | 3.23    |
| ซิลเวอร์ซัลเฟตบด 10 ชั่วโมง | 1.35      | 3.71                 | 0.33             | 24.11   |
| ซิลเวอร์ซัลเฟตบด 20 ชั่วโมง | 0.81      | 0.50                 | 0.04             | 5.41    |

ตารางที่ ข.3 แสดงขนาดผงเงินเฉลี่ยที่ได้จากการวัดขนาดจากภาพถ่ายจุลภาค

| ผงเงิน         | ค่าเฉลี่ย | ส่วนเบี่ยงเบนมาตรฐาน | ค่าความเชื่อมั่น | % Error |
|----------------|-----------|----------------------|------------------|---------|
| การทดลองที่ 1  | 9.13      | 4.13                 | 0.36             | 3.96    |
| การทดลองที่ 2  | 55.02     | 69.63                | 6.10             | 11.09   |
| การทดลองที่ 3  | 6.08      | 3.33                 | 0.29             | 4.80    |
| การทดลองที่ 4  | 225.46    | 86.92                | 7.62             | 3.38    |
| การทดลองที่ 5  | 9.99      | 4.84                 | 0.42             | 4.25    |
| การทดลองที่ 6  | 65.19     | 79.58                | 6.98             | 10.70   |
| การทดลองที่ 7  | 6.15      | 3.62                 | 0.32             | 5.17    |
| การทดลองที่ 8  | 95.60     | 92.96                | 8.15             | 8.52    |
| การทดลองที่ 9  | 9.52      | 4.31                 | 0.38             | 3.96    |
| การทดลองที่ 10 | 32.28     | 58.01                | 5.08             | 15.75   |
| การทดลองที่ 11 | 6.65      | 6.30                 | 0.55             | 8.31    |
| การทดลองที่ 12 | 295.82    | 296.24               | 25.97            | 8.78    |
| การทดลองที่ 13 | 10.95     | 24.14                | 2.12             | 19.32   |
| การทดลองที่ 14 | 24.97     | 32.78                | 2.87             | 11.51   |
| การทดลองที่ 15 | 6.43      | 4.11                 | 0.36             | 5.61    |
| การทดลองที่ 16 | 61.52     | 79.64                | 6.98             | 11.35   |

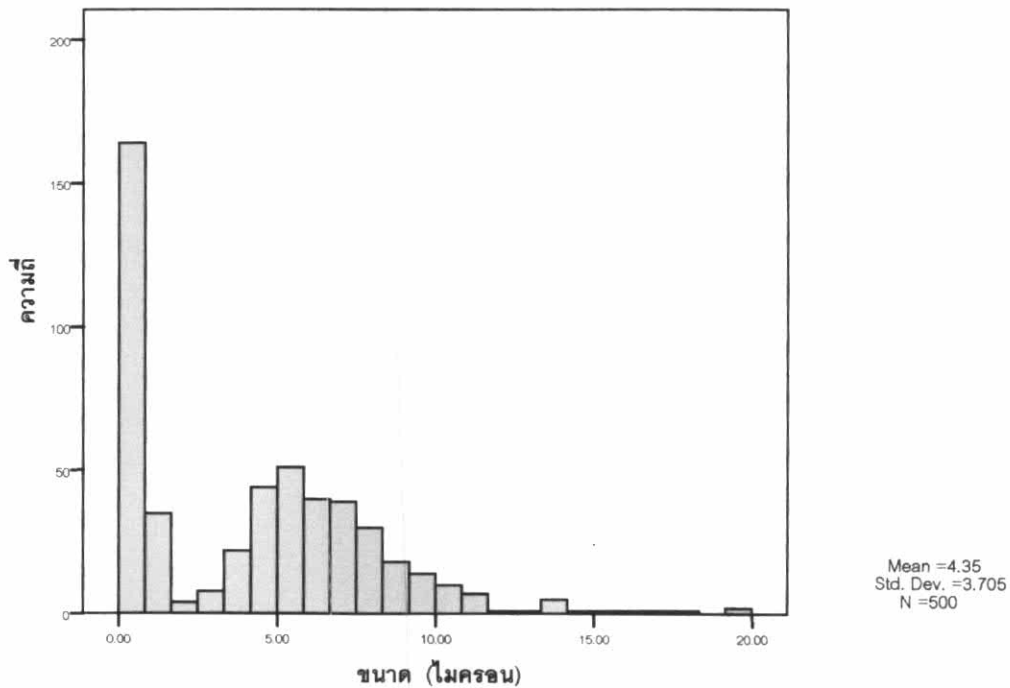


ตารางที่ ข.4 แสดงขนาดอนุภาคเฉลี่ยที่ได้จากการวัดขนาดจากภาพถ่ายจุลภาค

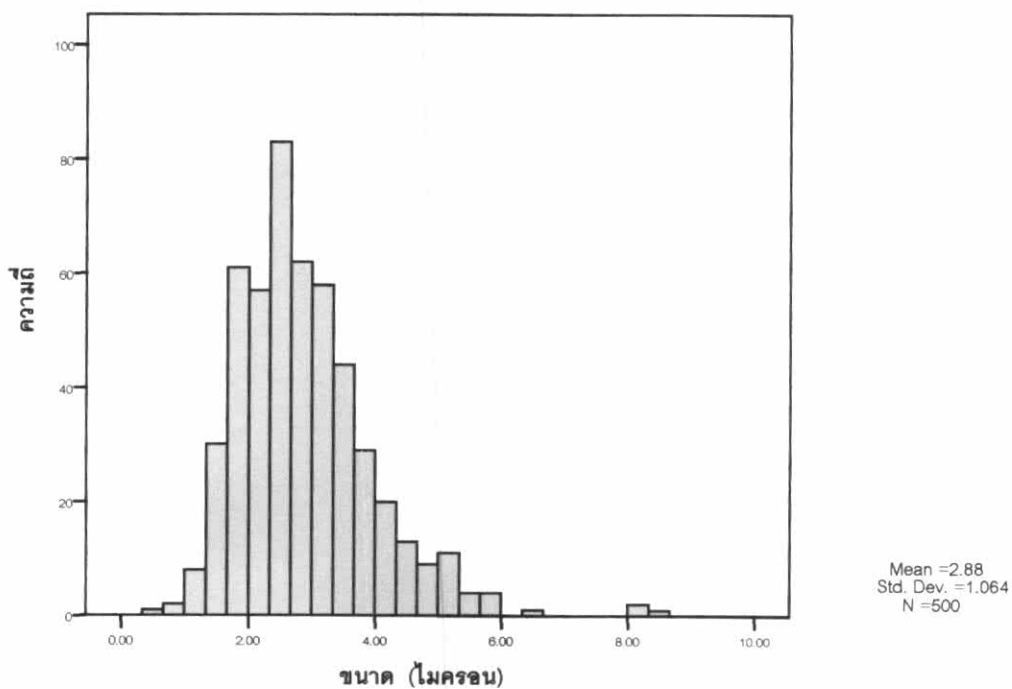
| ผงเงิน         | ค่าเฉลี่ย | ส่วนเบี่ยงเบนมาตรฐาน | ค่าความเชื่อมั่น | % Error |
|----------------|-----------|----------------------|------------------|---------|
| การทดลองที่ 1  | 0.063     | 0.023                | 0.002            | 2.58    |
| การทดลองที่ 2  | 0.168     | 0.042                | 0.003            | 1.79    |
| การทดลองที่ 3  | 0.221     | 0.052                | 0.004            | 1.68    |
| การทดลองที่ 4  | 0.180     | 0.053                | 0.004            | 2.11    |
| การทดลองที่ 5  | 0.075     | 0.018                | 0.001            | 1.74    |
| การทดลองที่ 6  | 0.172     | 0.041                | 0.003            | 1.71    |
| การทดลองที่ 7  | 0.200     | 0.041                | 0.003            | 1.45    |
| การทดลองที่ 8  | 0.165     | 0.052                | 0.004            | 2.26    |
| การทดลองที่ 9  | 0.136     | 0.030                | 0.002            | 1.56    |
| การทดลองที่ 10 | 0.104     | 0.027                | 0.002            | 1.84    |
| การทดลองที่ 11 | 0.166     | 0.050                | 0.004            | 2.13    |
| การทดลองที่ 12 | 0.142     | 0.043                | 0.003            | 2.19    |
| การทดลองที่ 13 | 0.111     | 0.023                | 0.002            | 1.46    |
| การทดลองที่ 14 | 0.242     | 0.074                | 0.005            | 2.18    |
| การทดลองที่ 15 | 0.186     | 0.043                | 0.003            | 1.63    |
| การทดลองที่ 16 | 0.166     | 0.046                | 0.003            | 1.98    |

กราฟแสดงขนาดซิลเวอร์ซัลเฟตจากการวัดภาพถ่ายจุลภาค

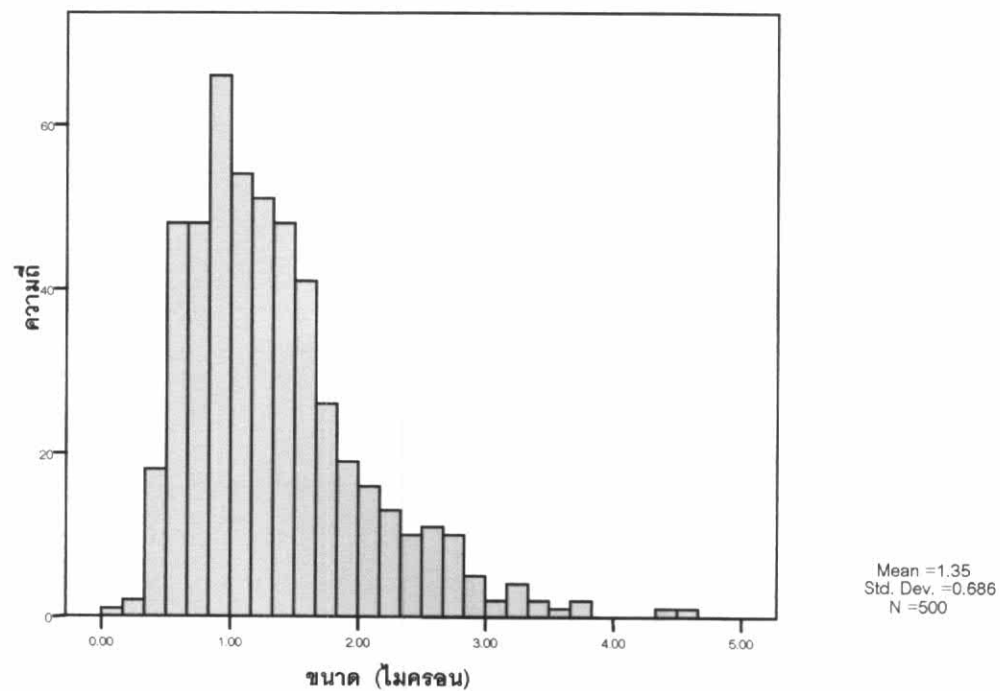
ซิลเวอร์ซัลเฟตไม่บด



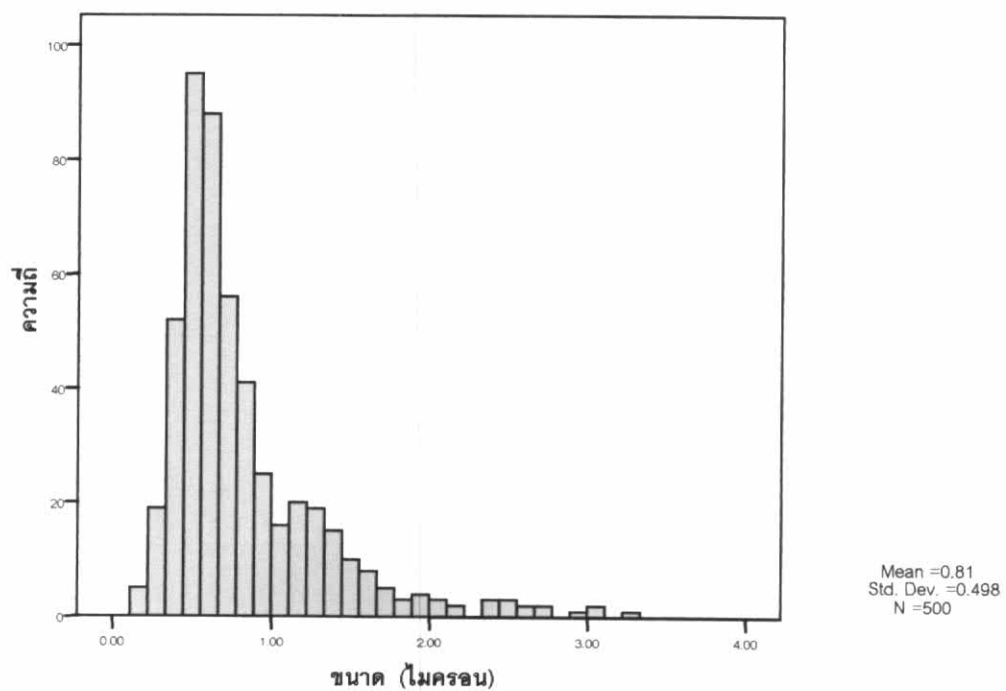
ซิลเวอร์ซัลเฟตบด 5 ชั่วโมง



ซิลเวอร์ซิลเฟตบด 10 ชั่วโมง

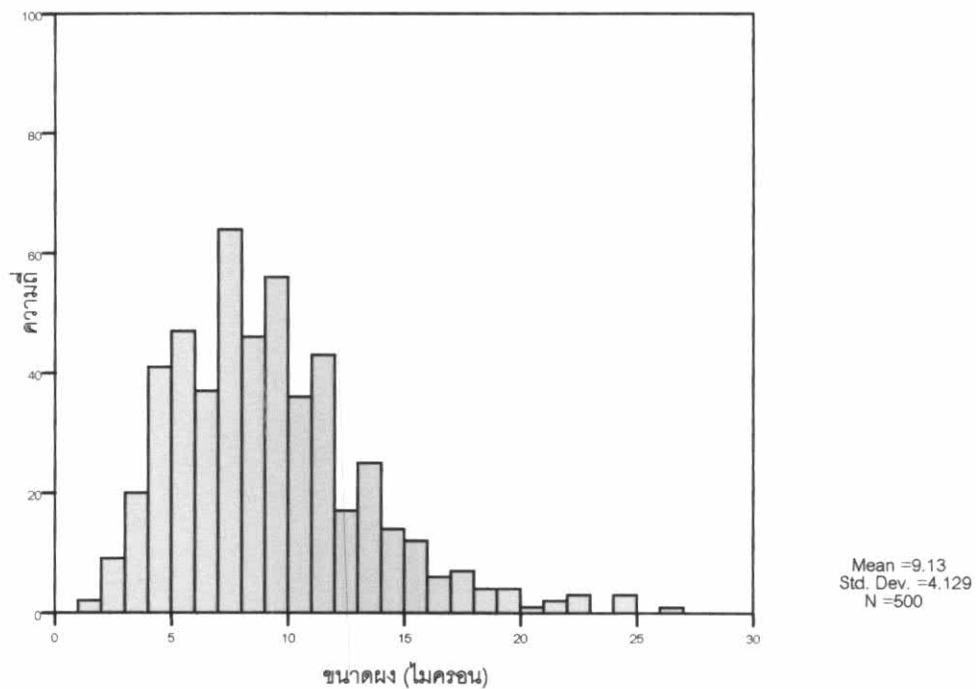


ซิลเวอร์ซิลเฟตบด 20 ชั่วโมง

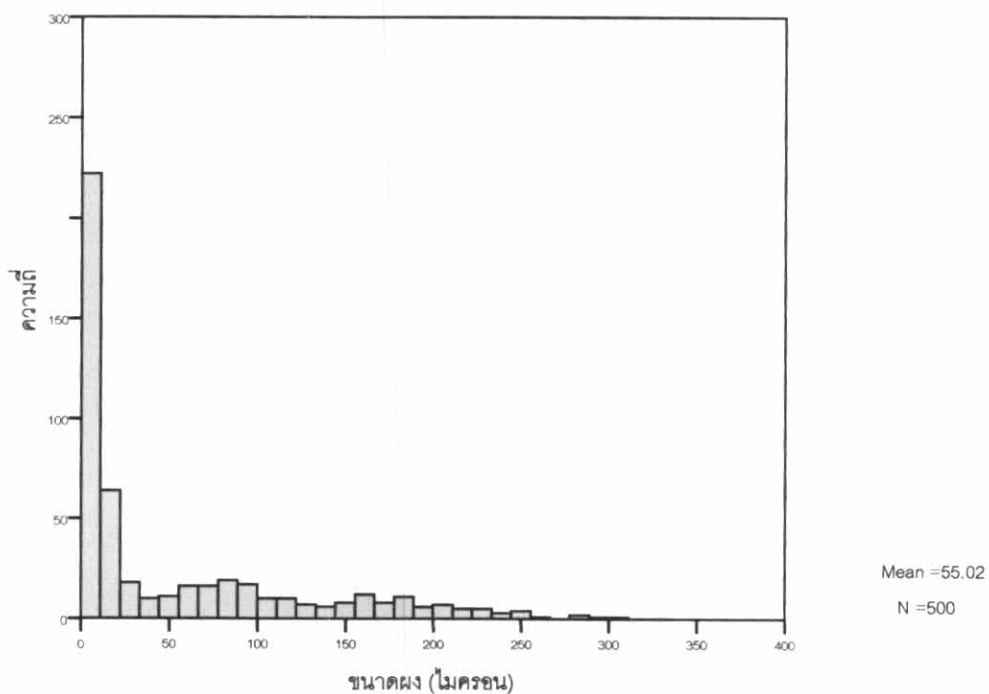


### กราฟแสดงขนาดผงเงินจากการวัดภาพถ่ายจุลภาค

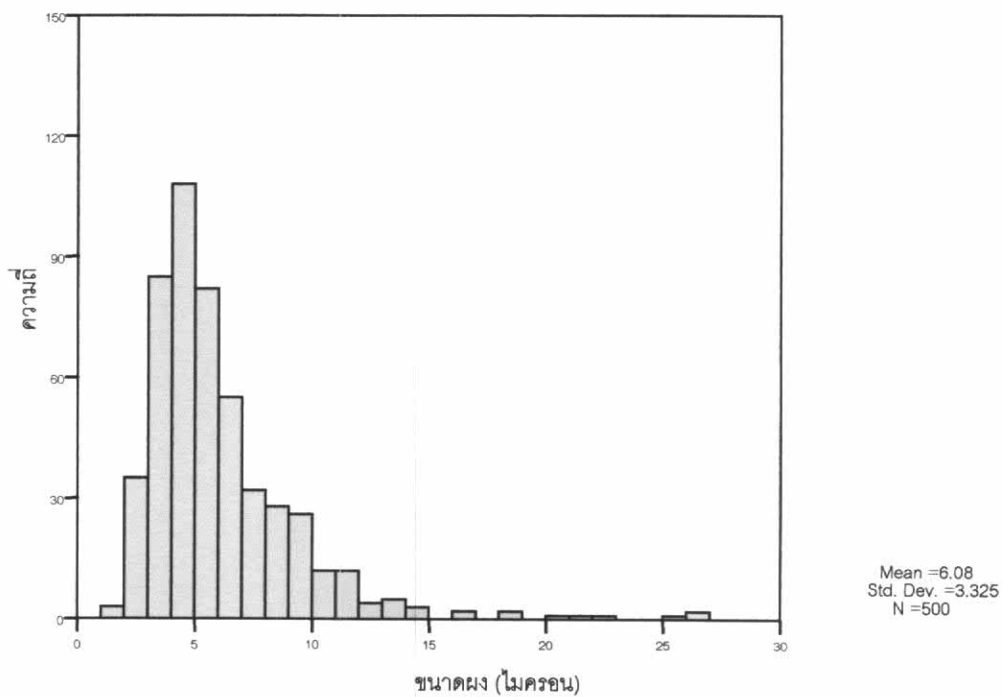
ขนาดผงการทดลองที่ 1 ผลิตจากสารตั้งต้นไม่บด  
ทำปฏิกิริยาที่อุณหภูมิ 150°C เป็นเวลา 30 นาที



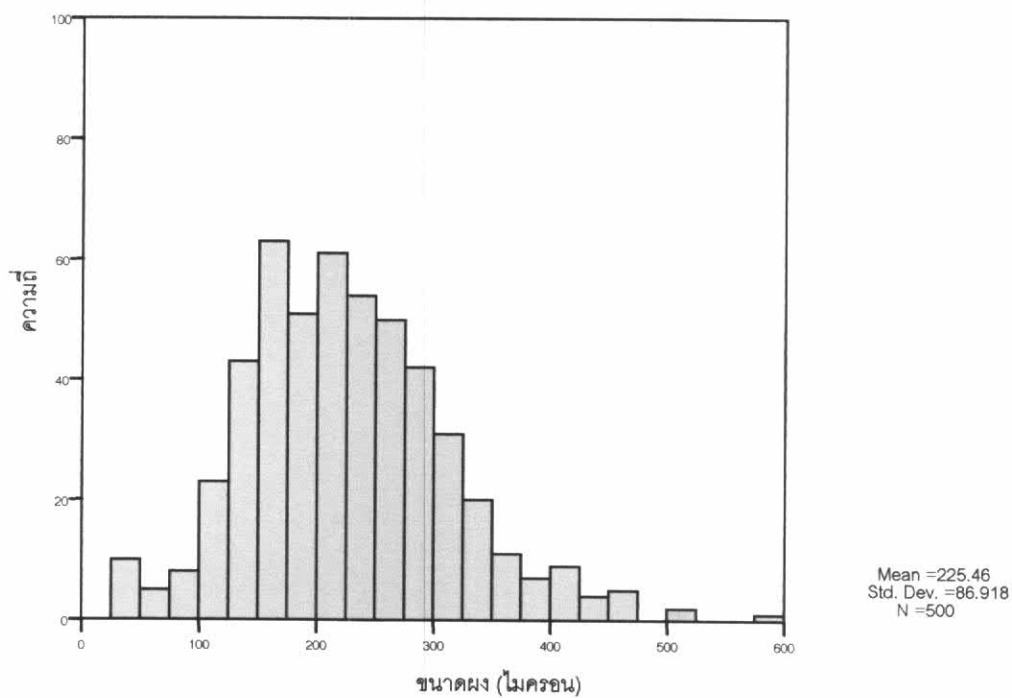
ขนาดผงการทดลองที่ 2 ผลิตจากสารตั้งต้นบด 5 ชั่วโมง  
ทำปฏิกิริยาที่อุณหภูมิ 150°C เป็นเวลา 30 นาที



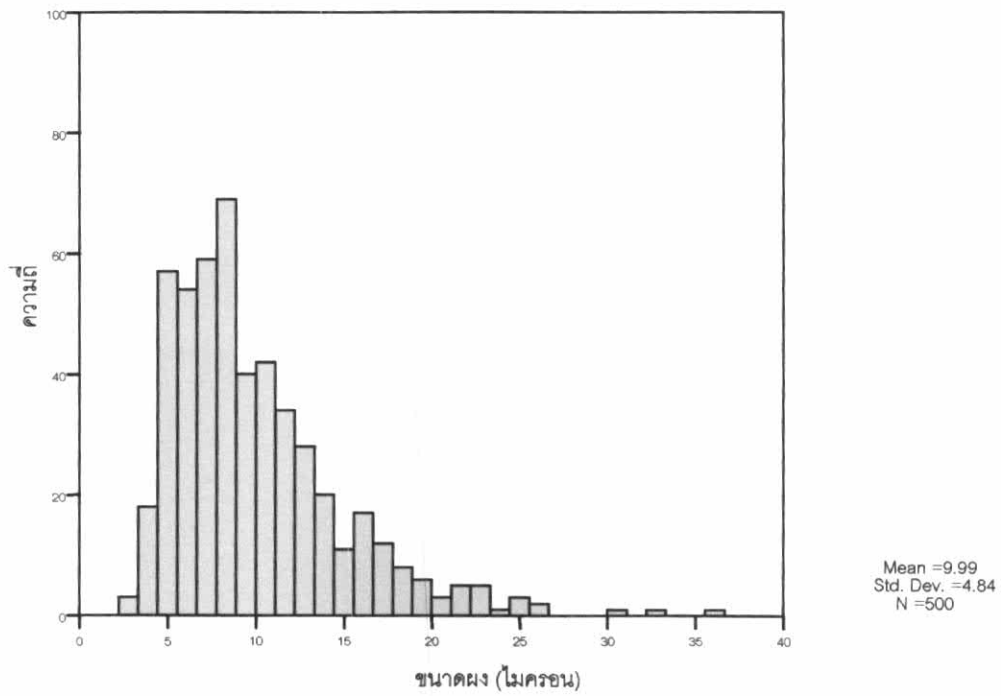
ขนาดผงการทดลองที่ 3 ผลิตจากสารตั้งต้นบด 10 ชั่วโมง  
ทำปฏิกิริยาที่อุณหภูมิ 150°C เป็นเวลา 30 นาที



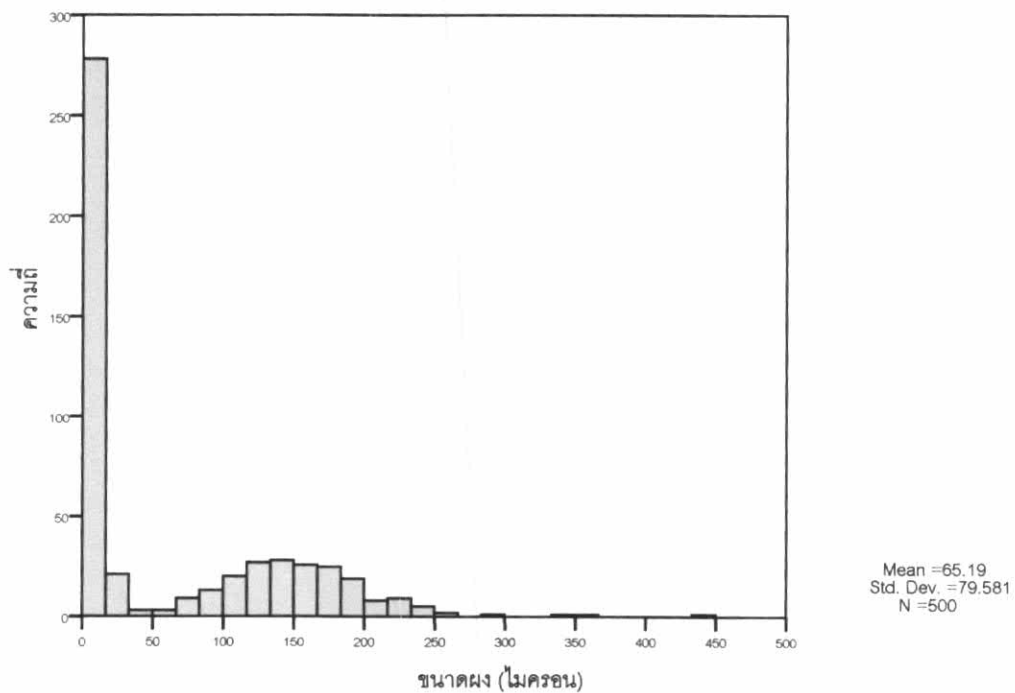
ขนาดผงการทดลองที่ 4 ผลิตจากสารตั้งต้นบด 20 ชั่วโมง  
ทำปฏิกิริยาที่อุณหภูมิ 150°C เป็นเวลา 30 นาที



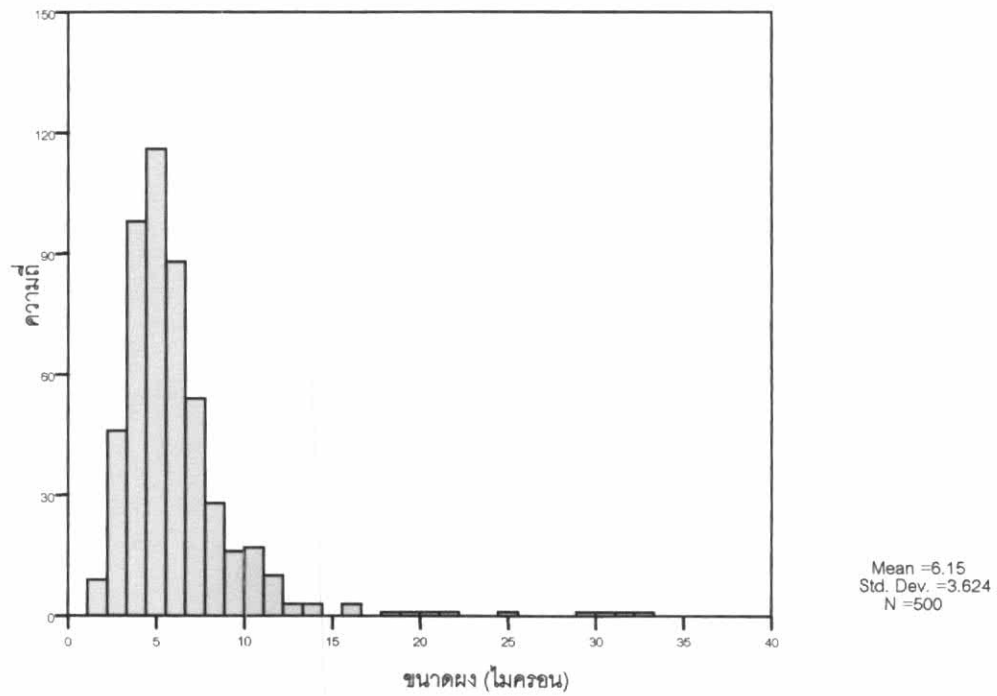
ขนาดผงการทดลองที่ 5 ผลิตจากสารตั้งต้นไม้บด  
ทำปฏิกิริยาที่อุณหภูมิ 150°C เป็นเวลา 1 ชั่วโมง



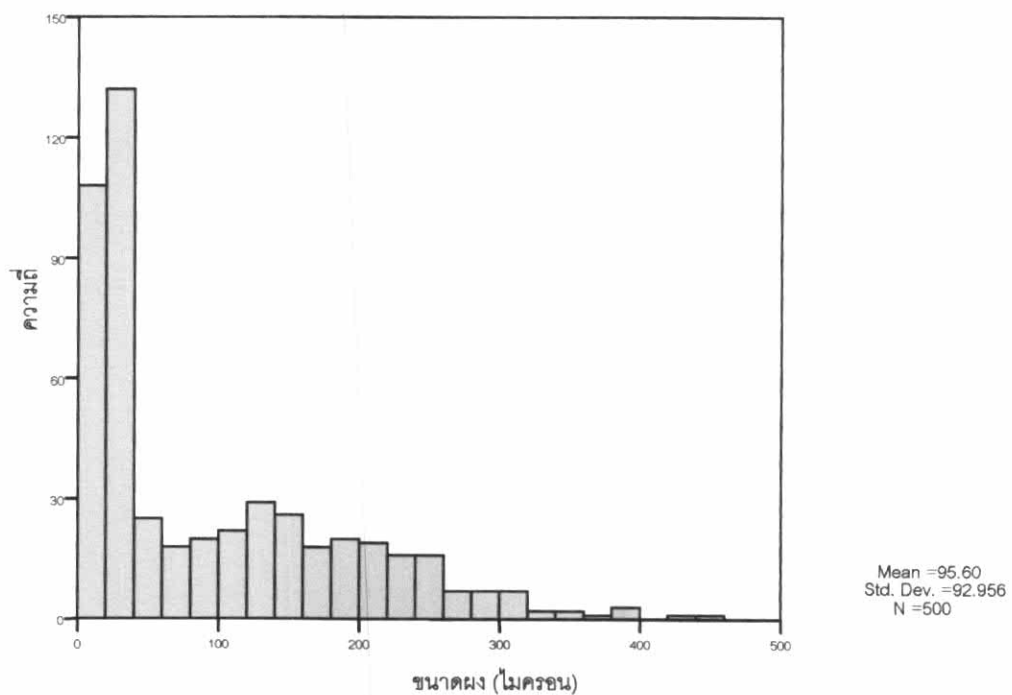
ขนาดผงการทดลองที่ 6 ผลิตจากสารตั้งต้นบด 5 ชั่วโมง  
ทำปฏิกิริยาที่อุณหภูมิ 150°C เป็นเวลา 1 ชั่วโมง



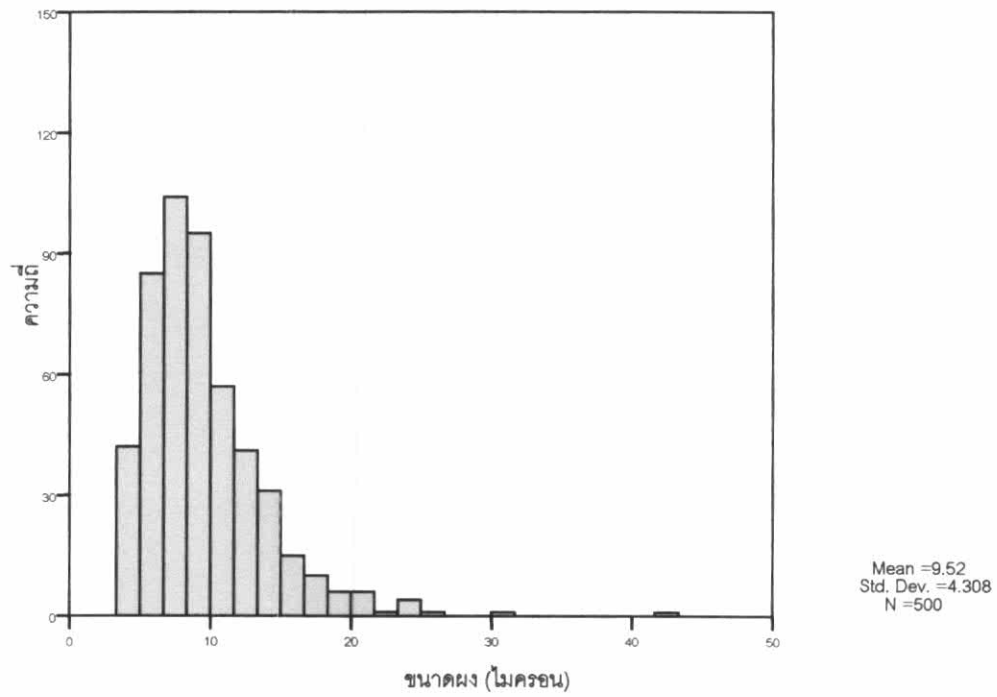
ขนาดผงการทดลองที่ 7 ผลิตจากสารตั้งต้นบด 10 ชั่วโมง  
ทำปฏิกิริยาที่อุณหภูมิ 150°C เป็นเวลา 1 ชั่วโมง



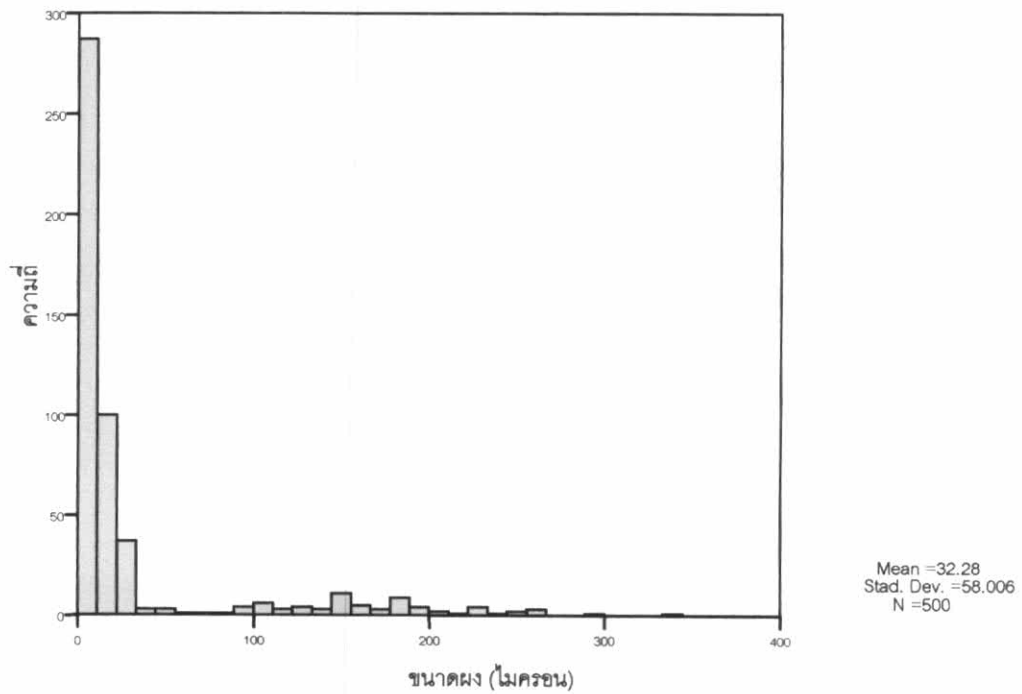
ขนาดผงการทดลองที่ 8 ผลิตจากสารตั้งต้นบด 20 ชั่วโมง  
ทำปฏิกิริยาที่อุณหภูมิ 150°C เป็นเวลา 1 ชั่วโมง



ขนาดผงการทดลองที่ 9 ผลิตจากสารตั้งต้นบดไม่บด  
ทำปฏิกิริยาที่อุณหภูมิ 180°C เป็นเวลา 30 นาที

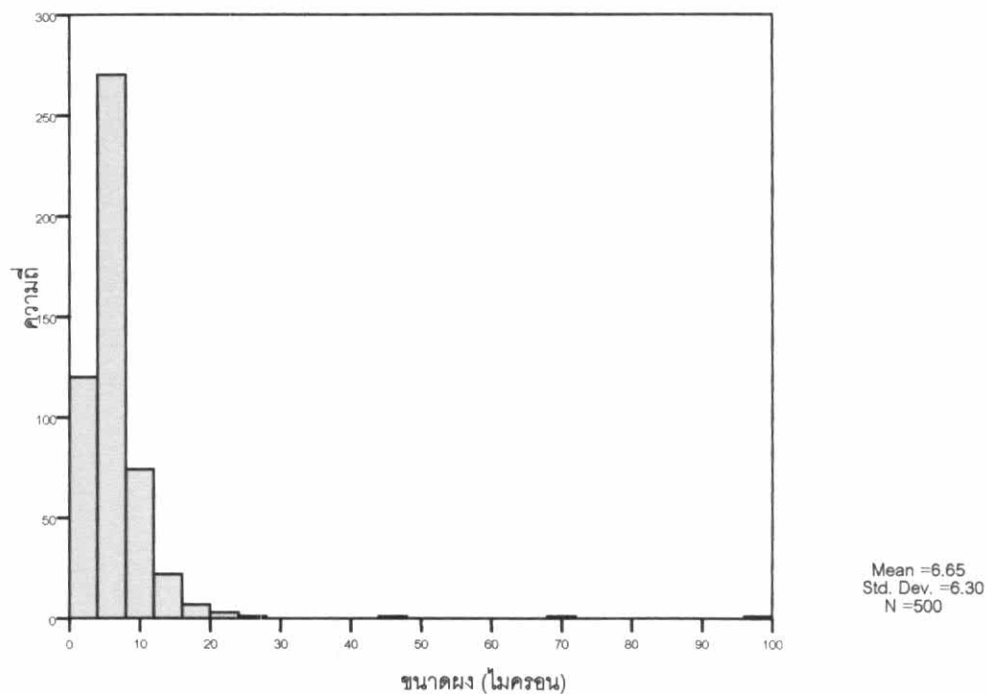


ขนาดผงการทดลองที่ 10 ผลิตจากสารตั้งต้นบด 5 ชั่วโมง  
ทำปฏิกิริยาที่อุณหภูมิ 180°C เป็นเวลา 30 นาที

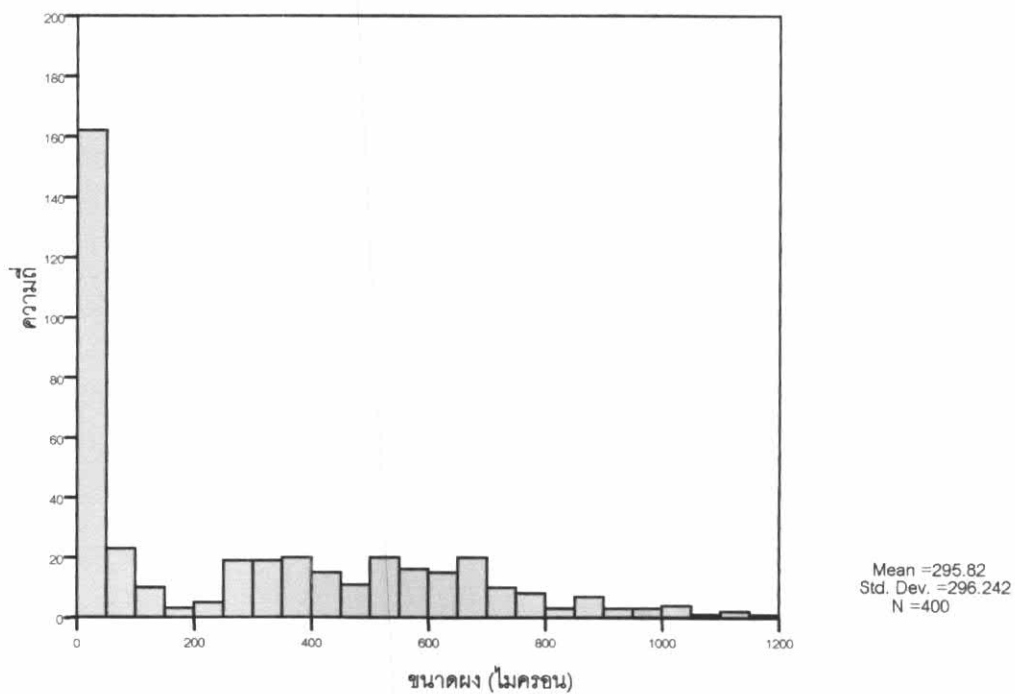




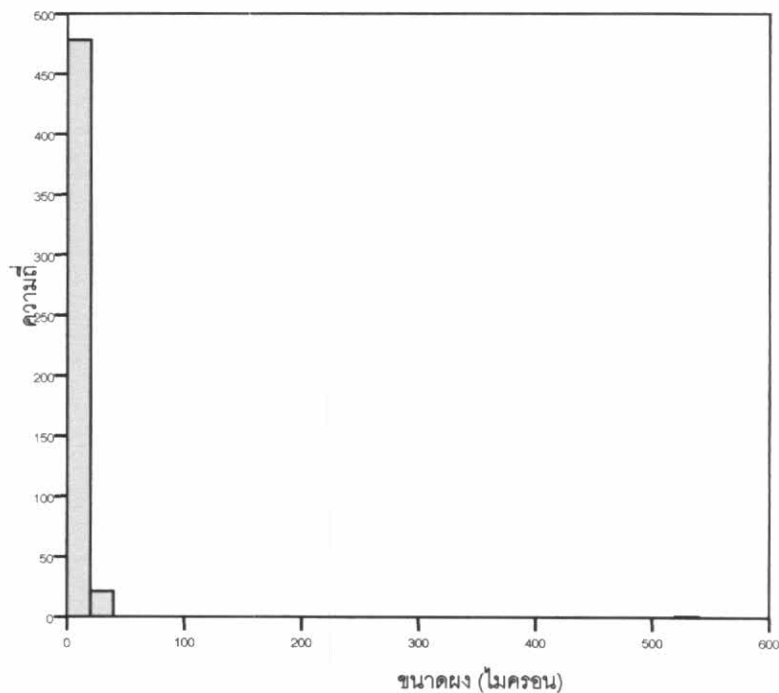
ขนาดผงการทดลองที่ 11 ผลิตจากสารตั้งต้นบด 10 ชั่วโมง  
ทำปฏิกิริยาที่อุณหภูมิ 180°C เป็นเวลา 30 นาที



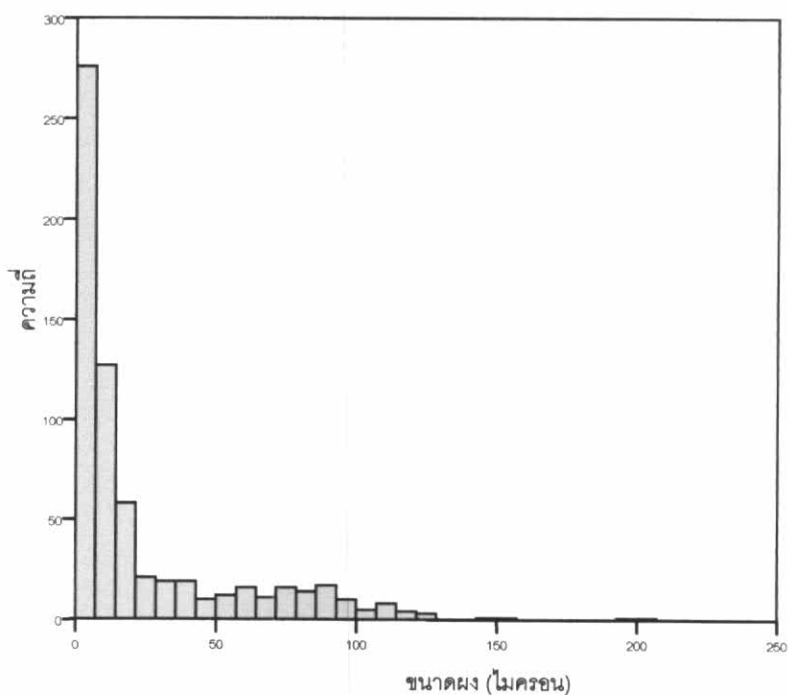
ขนาดผงการทดลองที่ 12 ผลิตจากสารตั้งต้นบด 20 ชั่วโมง  
ทำปฏิกิริยาที่อุณหภูมิ 180°C เป็นเวลา 30 นาที



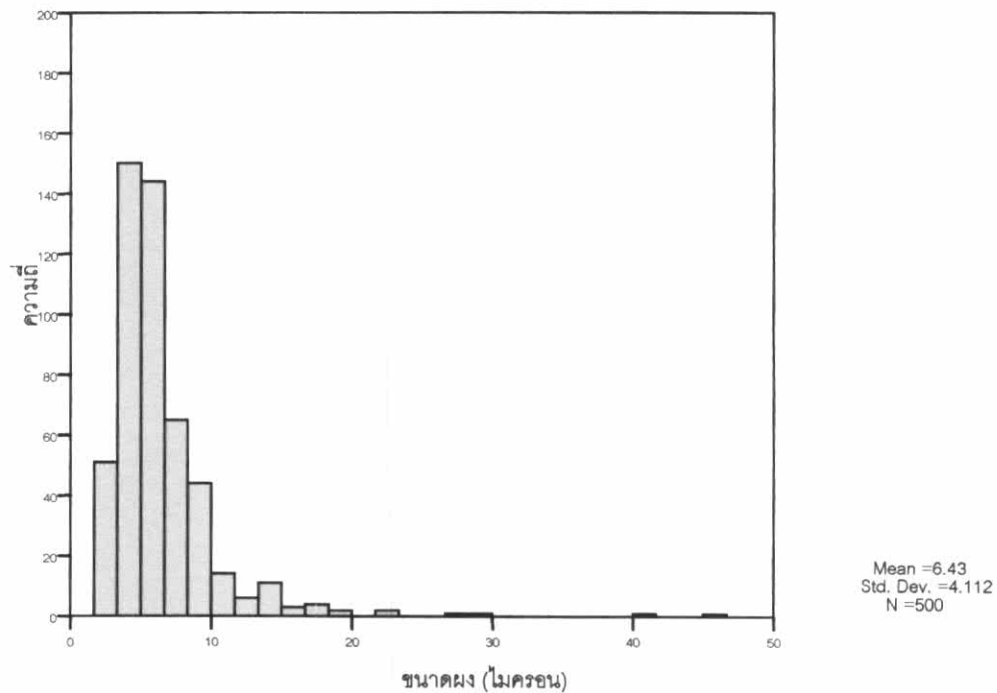
ขนาดผงการทดลองที่ 13 ผิดจากสารตั้งต้นไม้บด  
ทำปฏิกิริยาที่อุณหภูมิ 180°C เป็นเวลา 1 ชั่วโมง



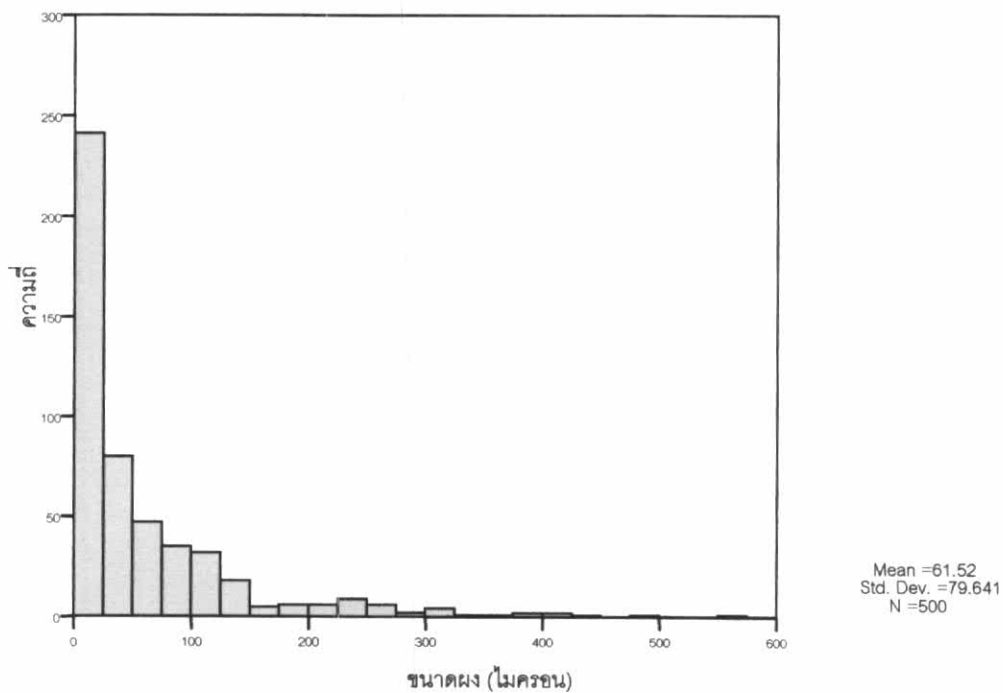
ขนาดผงการทดลองที่ 14 ผิดจากสารตั้งต้นบด 5 ชั่วโมง  
ทำปฏิกิริยาที่อุณหภูมิ 180°C เป็นเวลา 1 ชั่วโมง



ขนาดผงการทดลองที่ 15 ผลิตจากสารตั้งต้นบด 10 ชั่วโมง  
ทำปฏิกิริยาที่อุณหภูมิ 180°C เป็นเวลา 1 ชั่วโมง

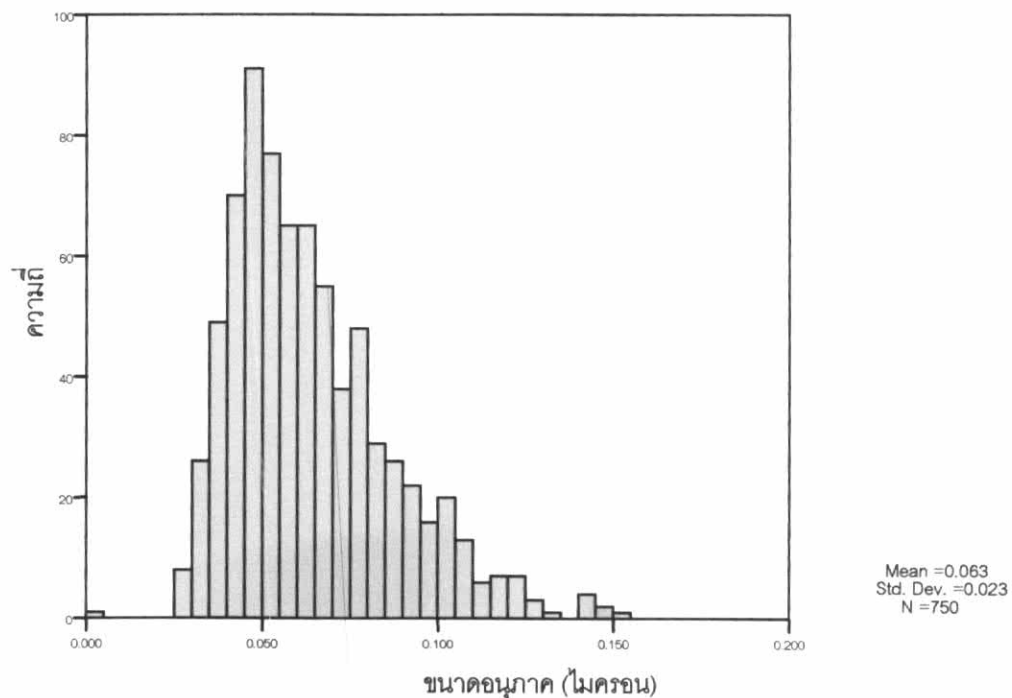


ขนาดผงการทดลองที่ 16 ผลิตจากสารตั้งต้นบด 20 ชั่วโมง  
ทำปฏิกิริยาที่อุณหภูมิ 180°C เป็นเวลา 1 ชั่วโมง

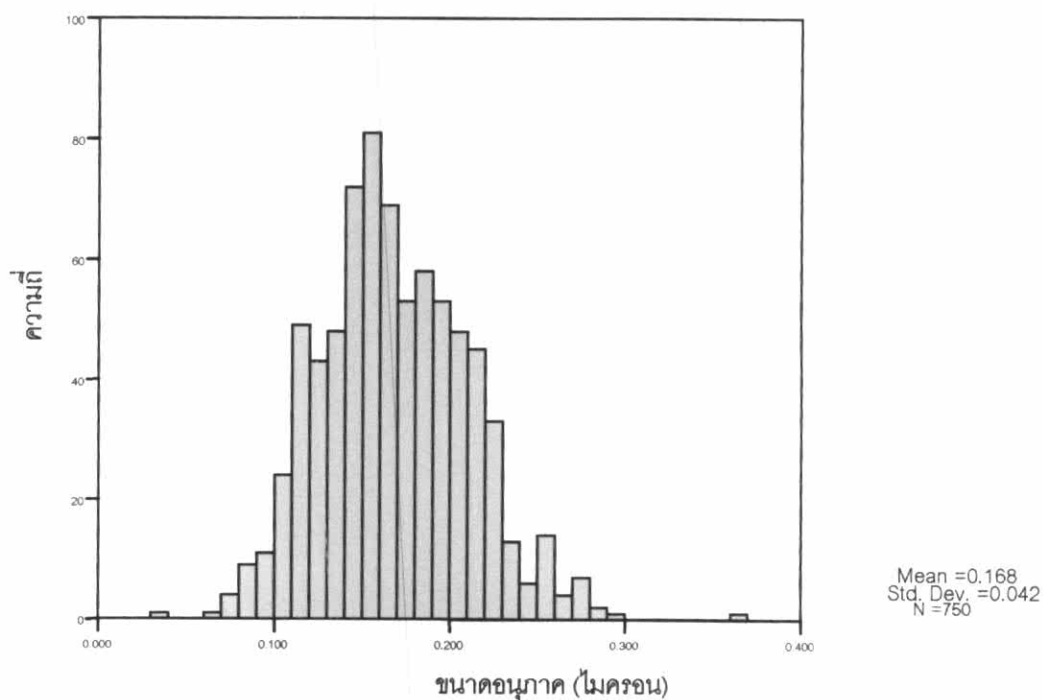


## กราฟแสดงขนาดอนุภาคเงินจากการวัดภาพถ่ายจุลภาค

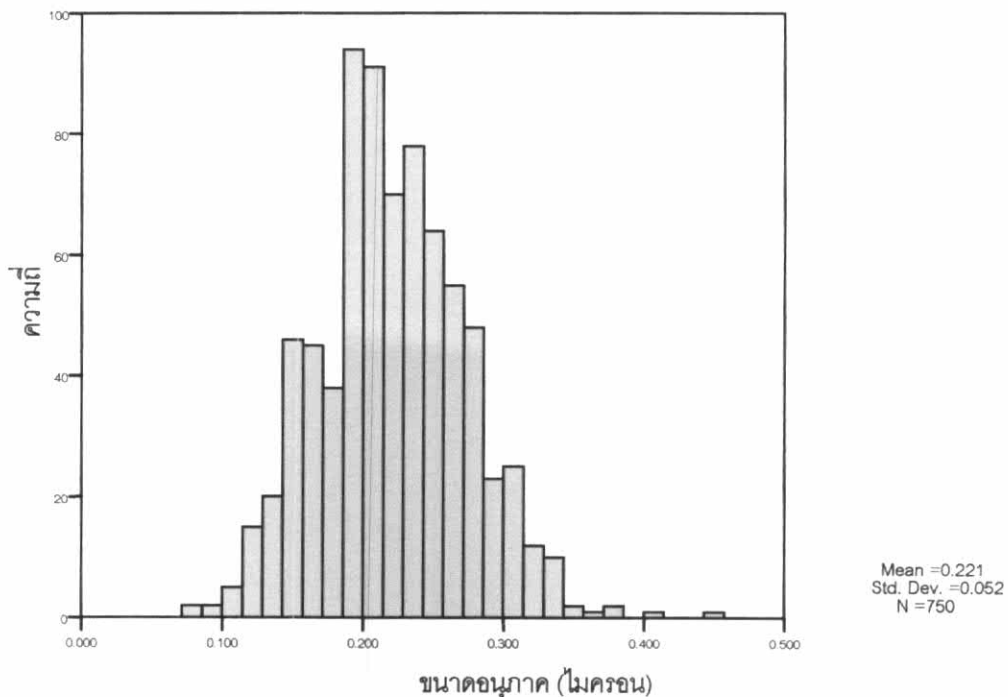
ขนาดอนุภาคการทดลองที่ 1 ผลิตจากสารตั้งต้นไม่บด  
ทำปฏิกิริยาที่อุณหภูมิ 150°C เป็นเวลา 30 นาที



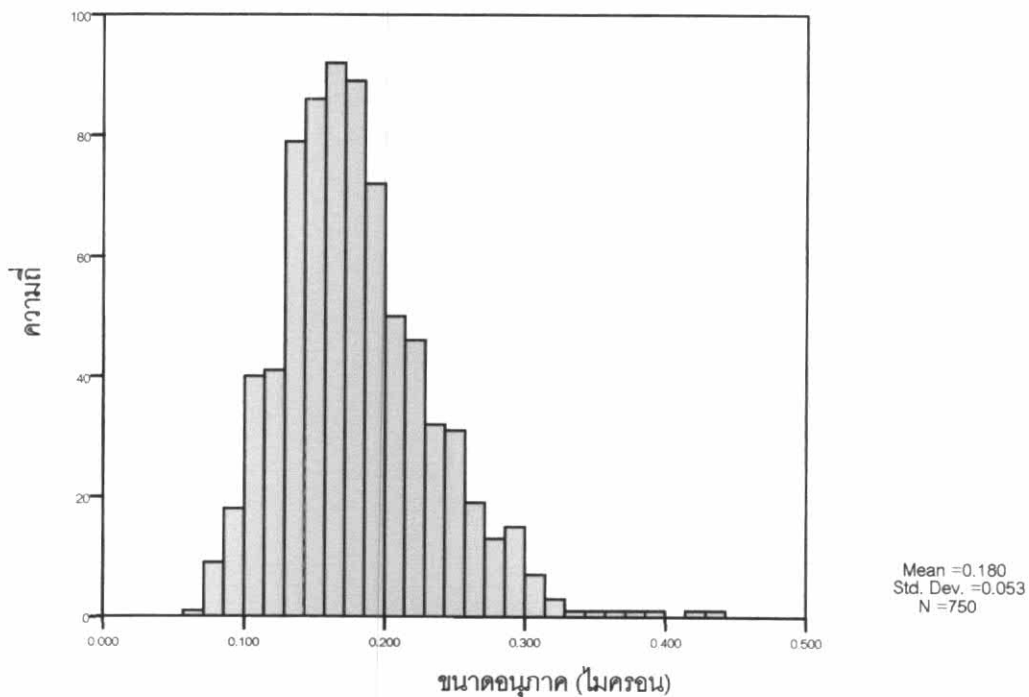
ขนาดอนุภาคการทดลองที่ 2 ผลิตจากสารตั้งต้นบด 5 ชั่วโมง  
ทำปฏิกิริยาที่อุณหภูมิ 150°C เป็นเวลา 30 นาที



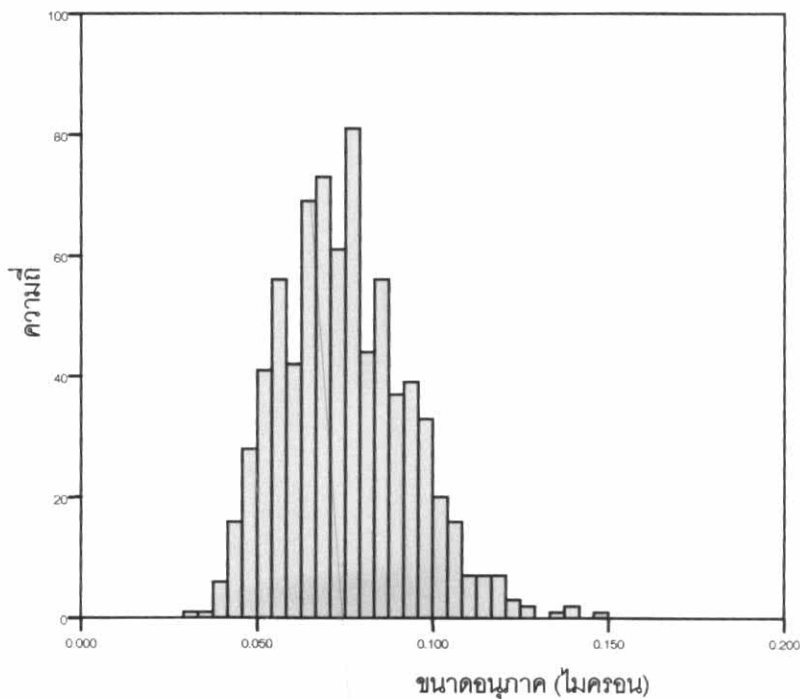
ขนาดอนุภาคการทดลองที่ 3 ผลิตจากสารตั้งต้นบด 10 ชั่วโมง  
ทำปฏิกิริยาที่อุณหภูมิ 150°C เป็นเวลา 30 นาที



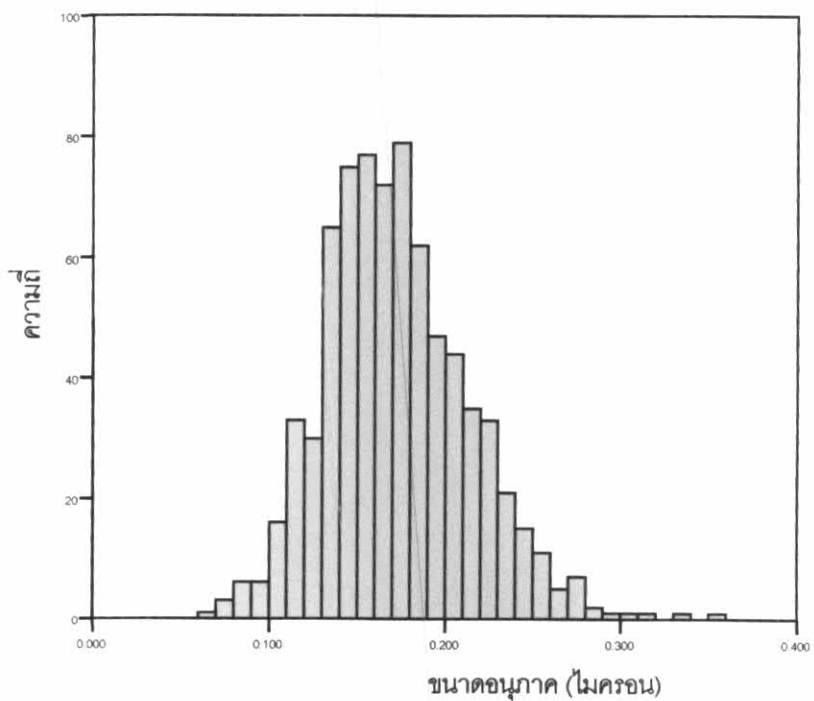
ขนาดอนุภาคการทดลองที่ 4 ผลิตจากสารตั้งต้นบด 20 ชั่วโมง  
ทำปฏิกิริยาที่อุณหภูมิ 150°C เป็นเวลา 30 นาที



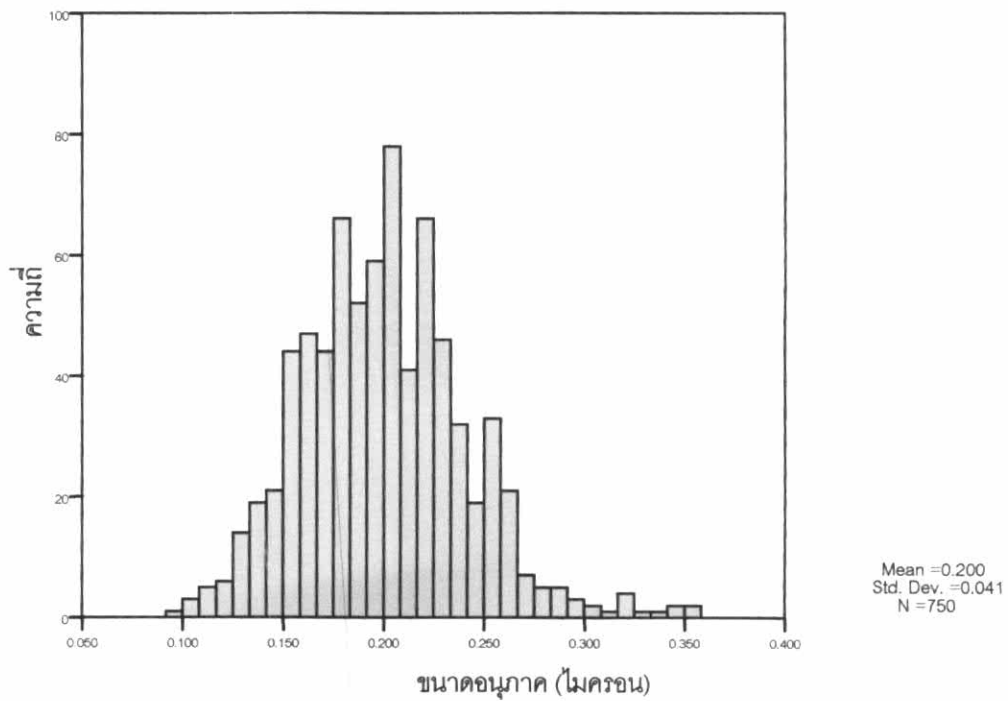
ขนาดอนุภาคการทดลองที่ 5 ผลิตจากสารตั้งต้นไม่บด  
ทำปฏิกิริยาที่อุณหภูมิ 150°C เป็นเวลา 1 ชั่วโมง



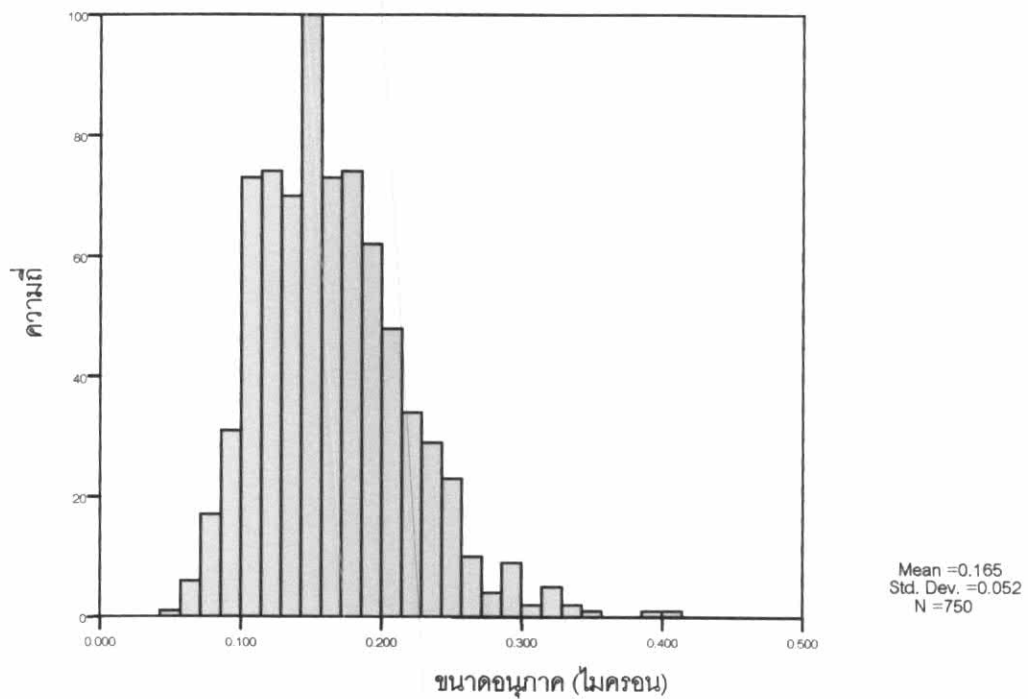
ขนาดอนุภาคการทดลองที่ 6 ผลิตจากสารตั้งต้นบด 5 ชั่วโมง  
ทำปฏิกิริยาที่อุณหภูมิ 150°C เป็นเวลา 1 ชั่วโมง



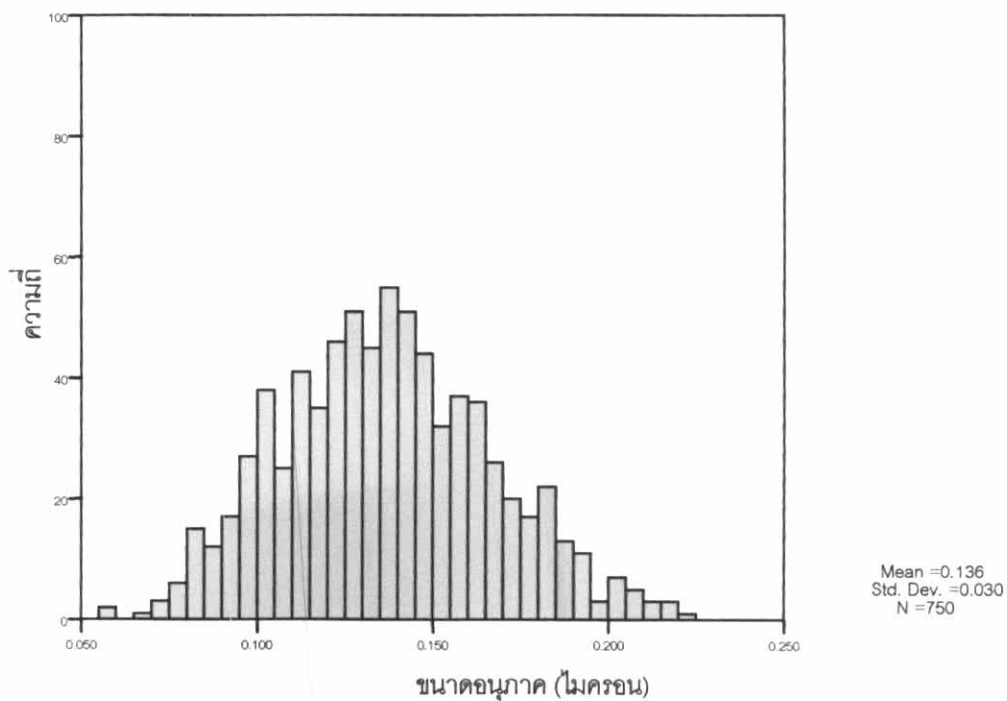
ขนาดอนุภาคการทดลองที่ 7 ผลิตจากสารตั้งต้นบด 10 ชั่วโมง  
ทำปฏิกิริยาที่อุณหภูมิ 150°C เป็นเวลา 1 ชั่วโมง



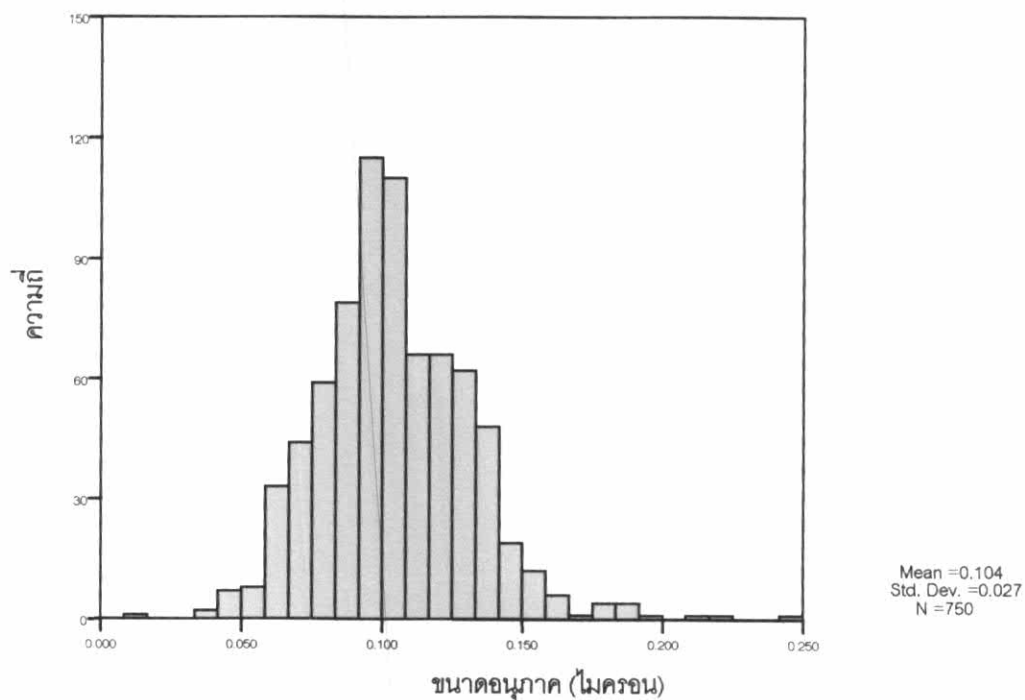
ขนาดอนุภาคการทดลองที่ 8 ผลิตจากสารตั้งต้นบด 20 ชั่วโมง  
ทำปฏิกิริยาที่อุณหภูมิ 150°C เป็นเวลา 1 ชั่วโมง



ขนาดเฉลี่ยอนุภาคการทดลองที่ 9 ผลิตจากสารตั้งต้นบดไม่บด  
ทำปฏิกิริยาที่อุณหภูมิ 180°C เป็นเวลา 30 นาที

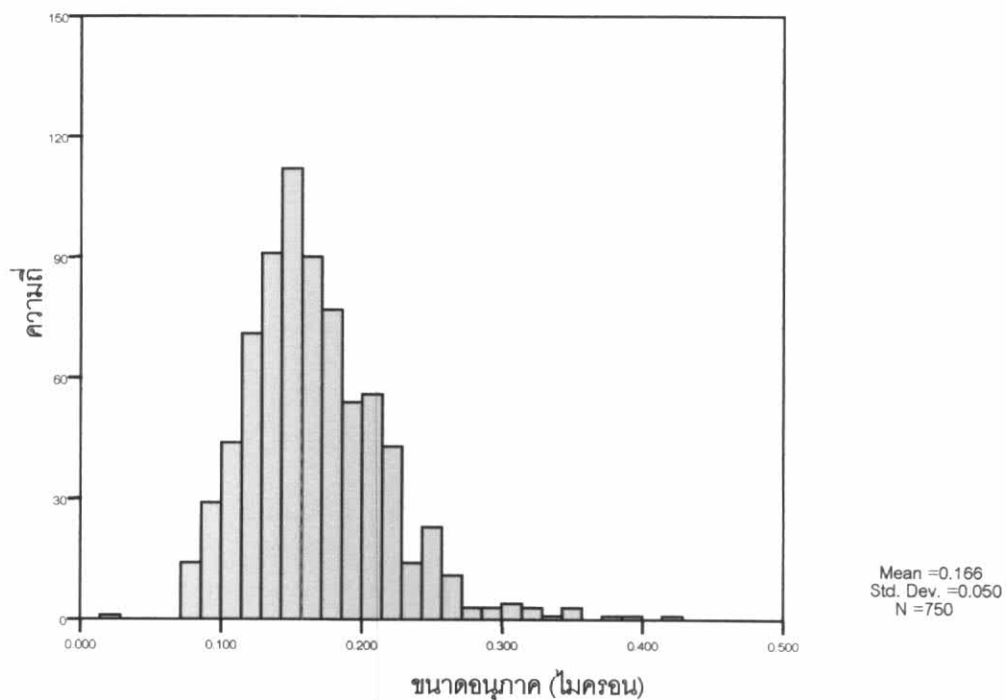


ขนาดเฉลี่ยอนุภาคการทดลองที่ 10 ผลิตจากสารตั้งต้นบด 5 ชั่วโมง  
ทำปฏิกิริยาที่อุณหภูมิ 180°C เป็นเวลา 30 นาที

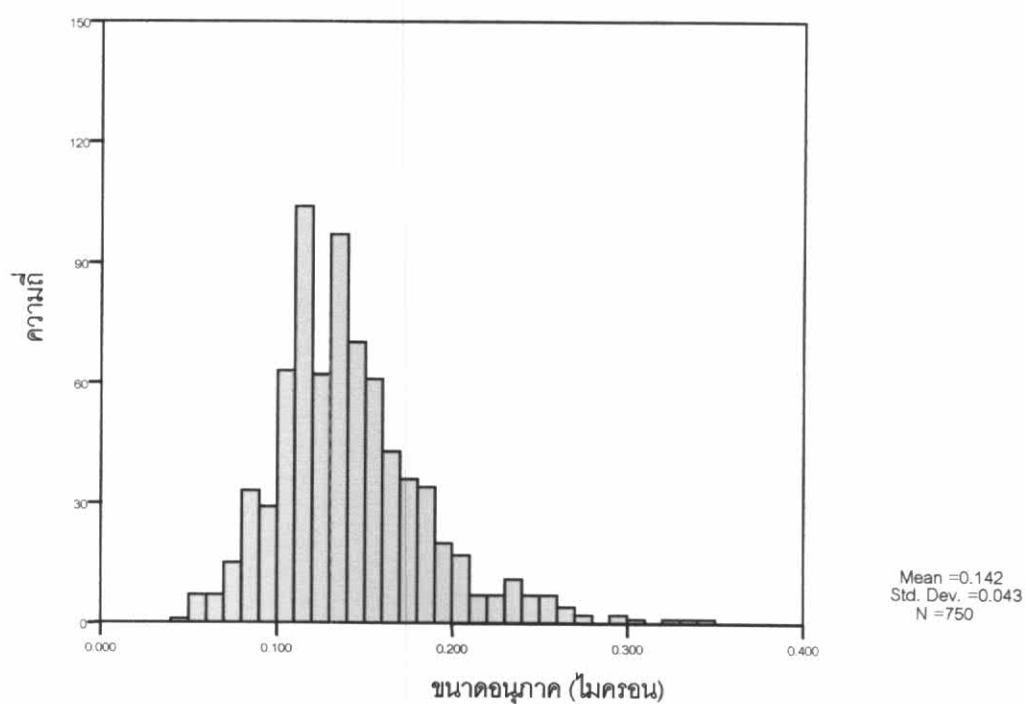




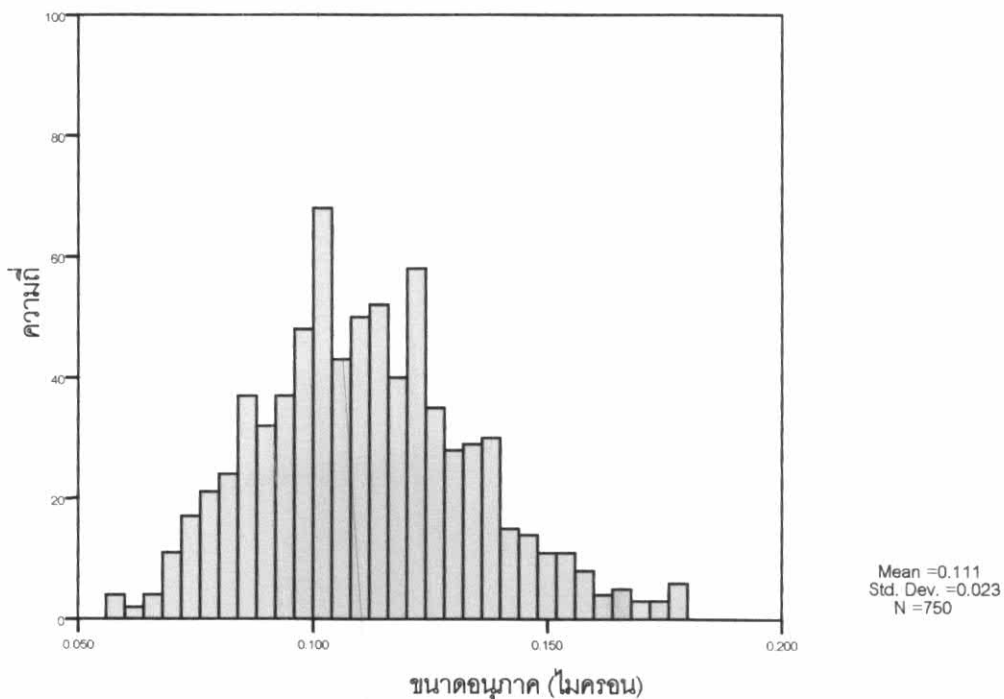
ขนาดเฉลี่ยอนุภาคการทดลองที่ 11 ผลิตจากสารตั้งต้นบด 10 ชั่วโมง  
ทำปฏิกิริยาที่อุณหภูมิ 180°C เป็นเวลา 30 นาที



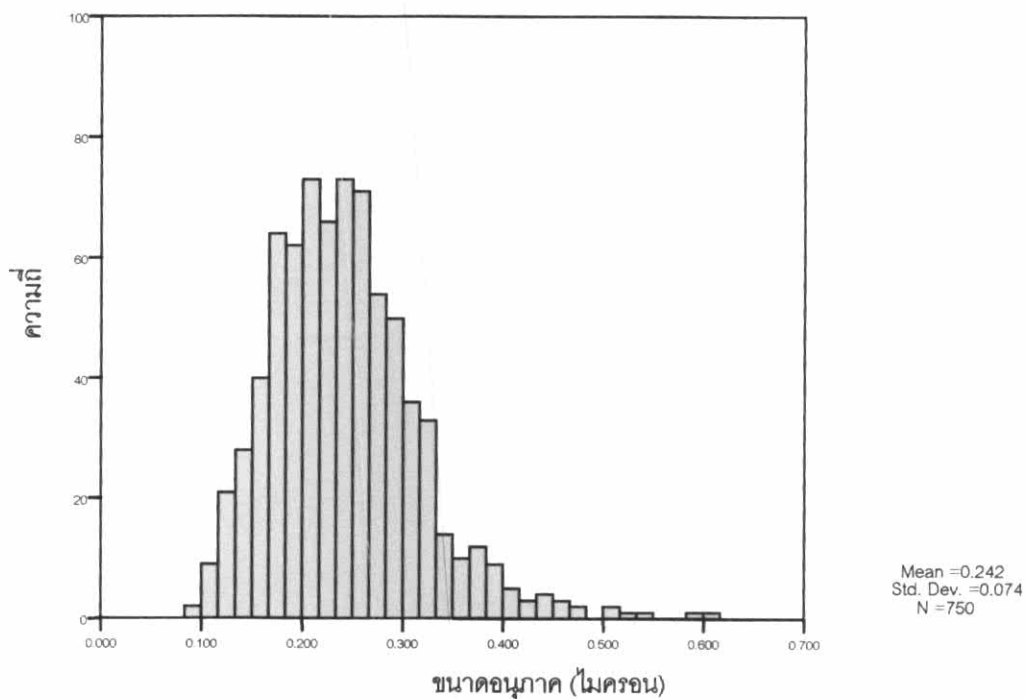
ขนาดเฉลี่ยอนุภาคการทดลองที่ 12 ผลิตจากสารตั้งต้นบด 20 ชั่วโมง  
ทำปฏิกิริยาที่อุณหภูมิ 180°C เป็นเวลา 30 นาที



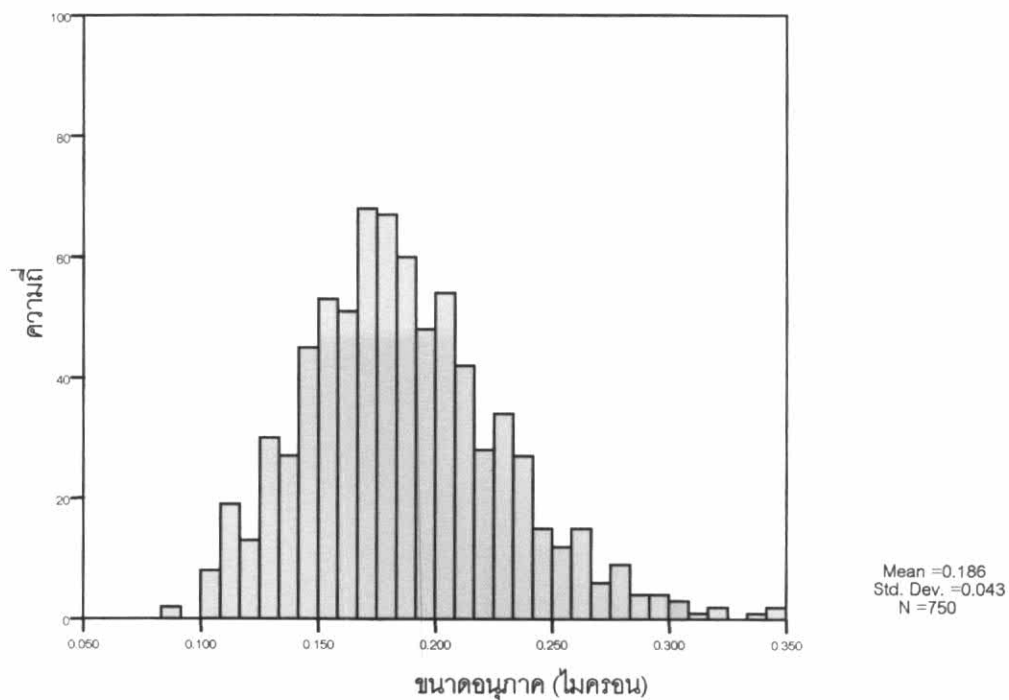
ขนาดเฉลี่ยอนุภาคการทดลองที่ 13 ผลิตจากสารตั้งต้นไม่บด  
ทำปฏิกิริยาที่อุณหภูมิ 180°C เป็นเวลา 1 ชั่วโมง



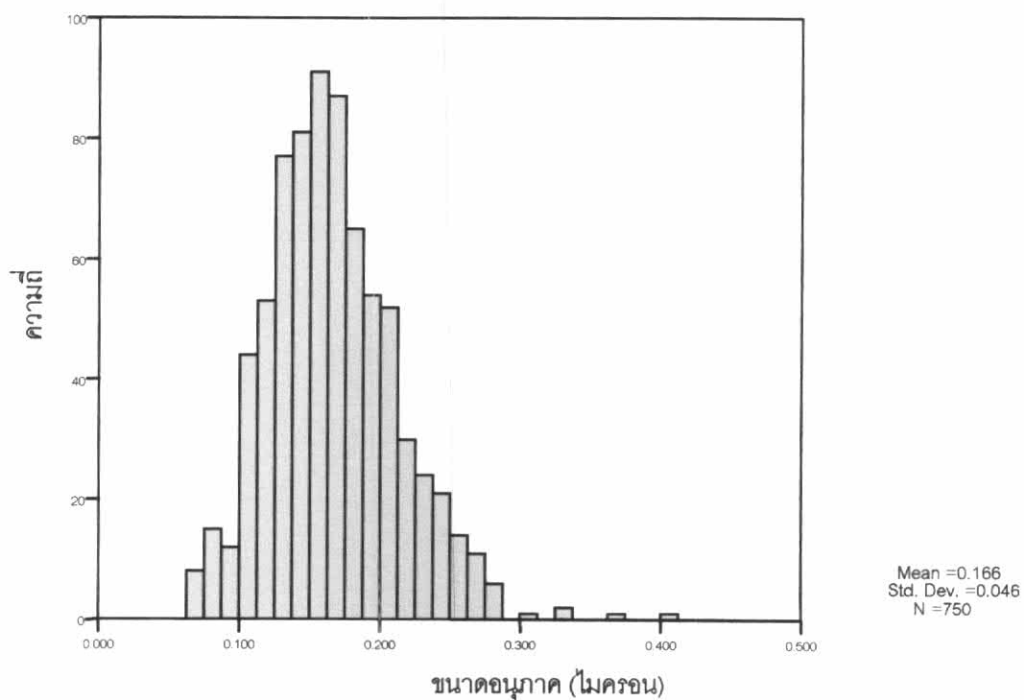
ขนาดเฉลี่ยอนุภาคการทดลองที่ 14 ผลิตจากสารตั้งต้นบด 5 ชั่วโมง  
ทำปฏิกิริยาที่อุณหภูมิ 180°C เป็นเวลา 1 ชั่วโมง



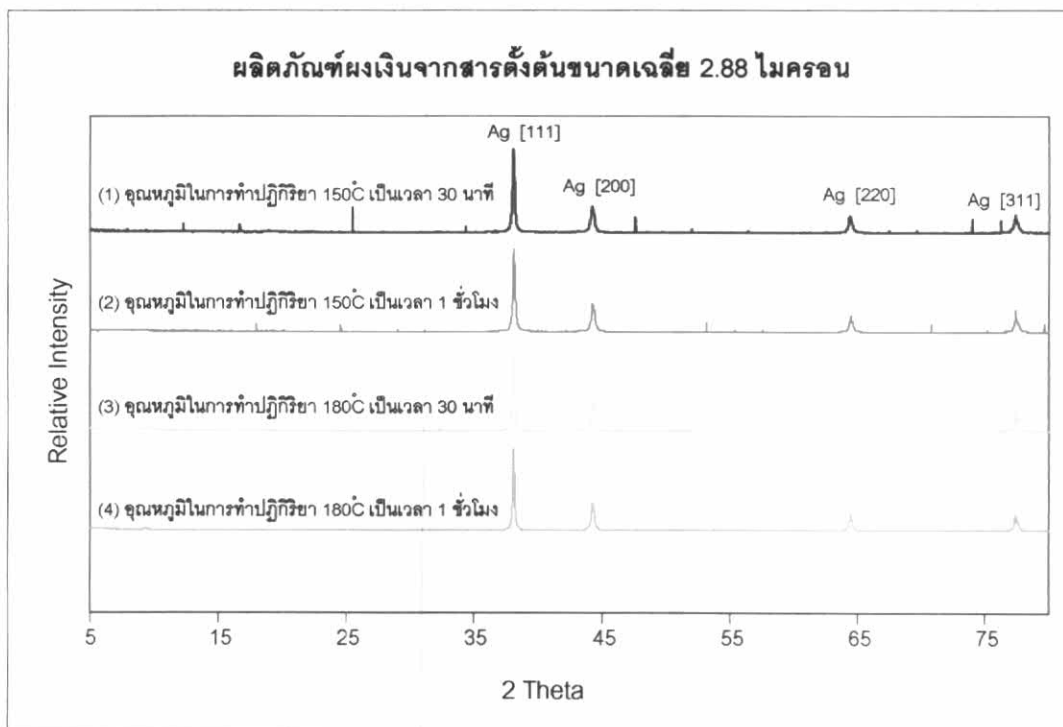
ขนาดเฉลี่ยอนุภาคการทดลองที่ 15 ผลิตจากสารตั้งต้นบด 10 ชั่วโมง  
ทำปฏิกิริยาที่อุณหภูมิ 180°C เป็นเวลา 1 ชั่วโมง



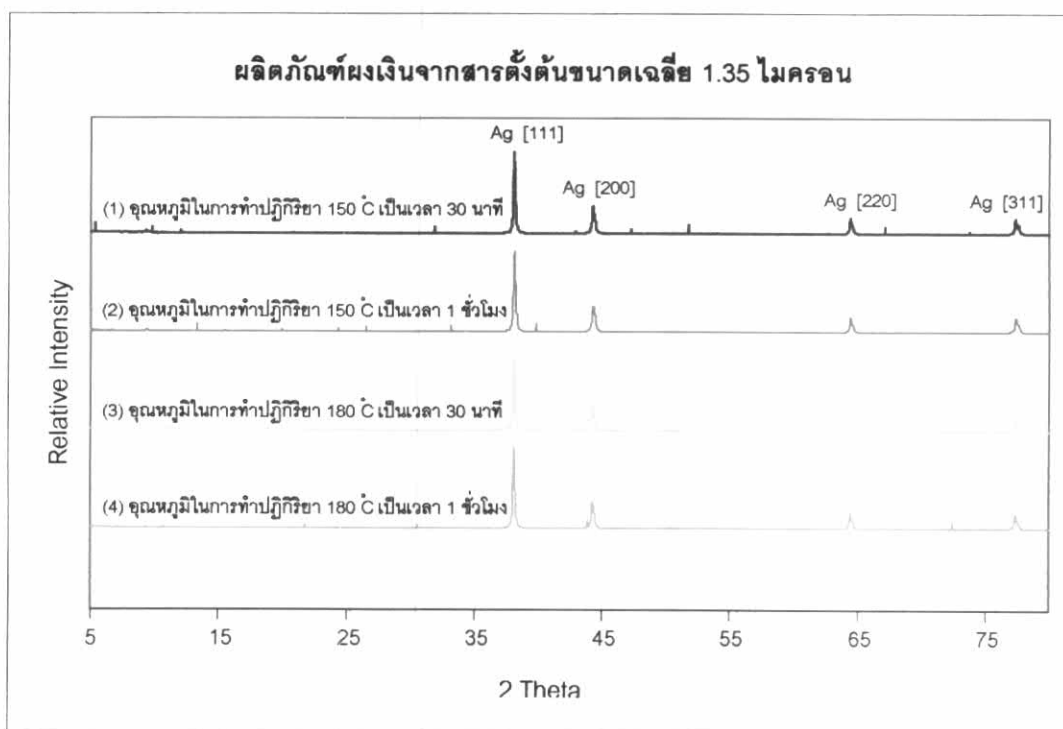
ขนาดเฉลี่ยอนุภาคการทดลองที่ 16 ผลิตจากสารตั้งต้นบด 20 ชั่วโมง  
ทำปฏิกิริยาที่อุณหภูมิ 180°C เป็นเวลา 1 ชั่วโมง



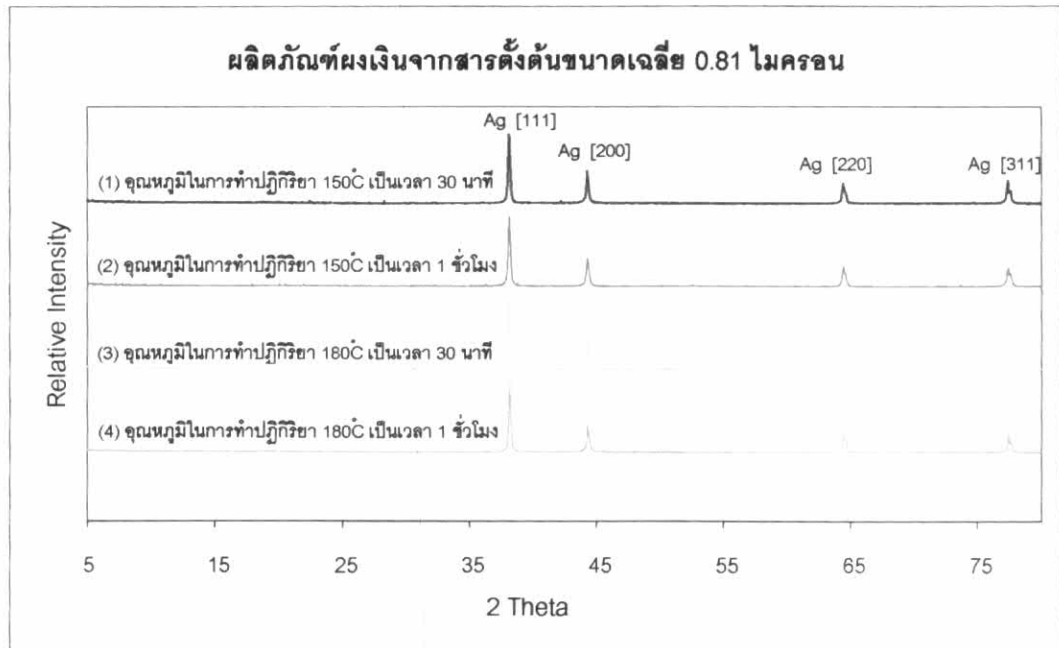
## ภาคผนวก ค



รูปที่ ค.1 กราฟ XRD ของผงเงินผลิตจากสารตั้งต้นขนาดเฉลี่ย 2.88 ไมครอน  
(ซิลเวอร์ซัลเฟตบด 5 ชั่วโมง) ทำปฏิกิริยาที่สภาวะต่างๆ



รูปที่ ค.2 กราฟ XRD ของผงเงินผลิตจากสารตั้งต้นขนาดเฉลี่ย 1.35 ไมครอน  
(ซิลเวอร์ซัลเฟตบด 10 ชั่วโมง) ทำปฏิกิริยาที่สภาวะต่างๆ



รูปที่ ค.3 กราฟ XRD ของผงเงินผลิตจากสารตั้งต้นขนาดเฉลี่ย 0.81 ไมครอน  
(ซิลเวอร์ซัลเฟตบด 20 ชั่วโมง) ทำปฏิกิริยาที่สภาวะต่างๆ

## ภาคผนวก ง

การคำนวณหาปริมาณเปอร์เซ็นต์ผลิตภัณฑ์เงินที่ได้จากสารตั้งต้นซิลเวอร์ซัลเฟต

มวลโมเลกุลของซิลเวอร์ซัลเฟต  $311.87 \text{ g} \cdot \text{mol}^{-1}$

มวลโมเลกุลของเงิน  $107.9 \text{ g} \cdot \text{mol}^{-1}$

ซิลเวอร์ซัลเฟต 1 mole มี เงิน 2 moles

ซิลเวอร์ซัลเฟต 10 กรัม จะมีเงินน้ำหนัก

$$\frac{2 \text{ moles}}{1 \text{ mole}} \times \frac{107.9 \text{ g} \cdot \text{mole}^{-1}}{311.87 \text{ g} \cdot \text{mole}^{-1}} \times 10 \text{ g}_{\text{Ag}_2\text{SO}_4} = 6.92 \text{ g}$$

$$\text{ดังนั้นเปอร์เซ็นต์ผลิตภัณฑ์เงิน} = \frac{X}{6.92 \text{ g}} \times 100\% \quad \dots \text{สมการ ค.}$$

เมื่อ  $X$  คือน้ำหนักผลิตภัณฑ์ (กรัม)

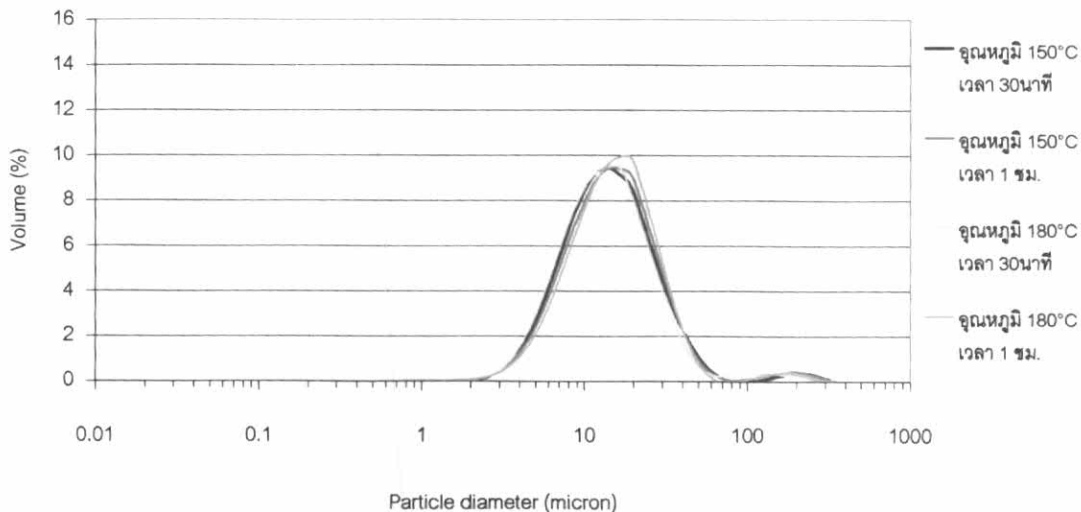
## ตัวอย่างการคำนวณ

การทดลองที่ 1 ซึ่งน้ำหนักเงินหลังจากผลิตได้ 6.62 กรัม แทนค่าลงในสมการ ก. จะได้

$$\text{เปอร์เซ็นต์ผลิตภัณฑ์เงิน} = \frac{6.62 \text{ g}}{6.92 \text{ g}} \times 100\% = 95.66\%$$

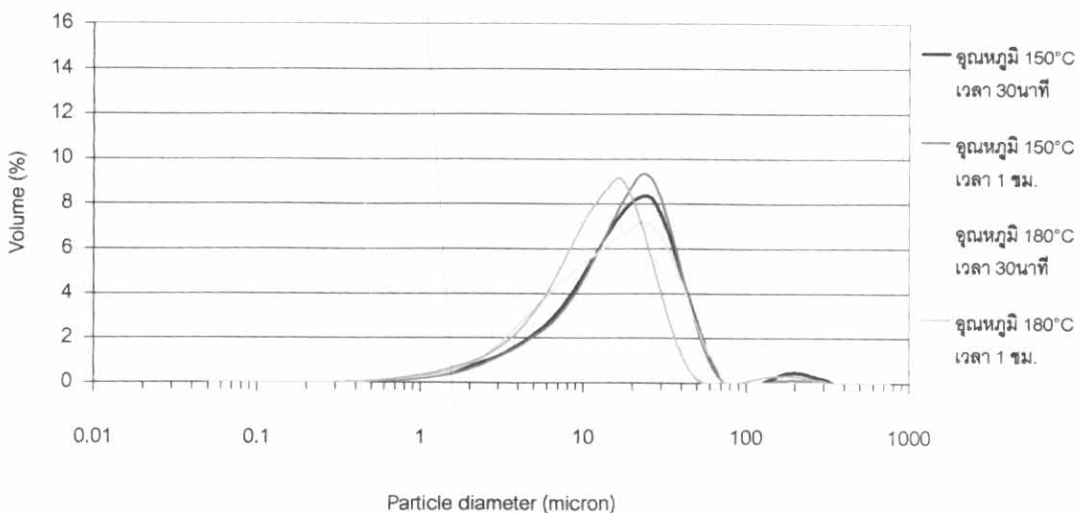
### ภาคผนวก จ

ขนาดผงเงินผลิตจากสารตั้งต้นซิลเวอร์ซัลเฟตขนาด 4.35 ไมครอน (สารตั้งต้นไม่บด)



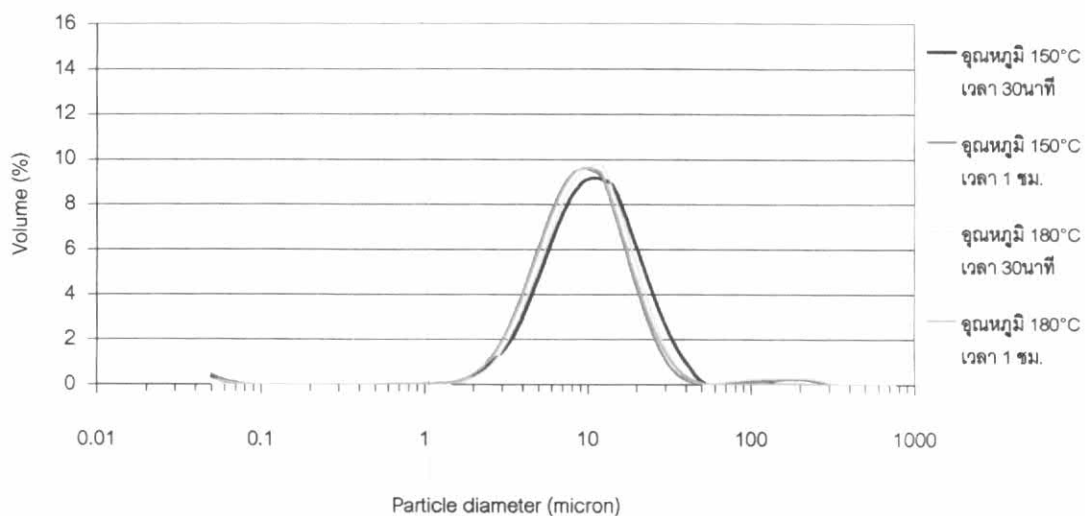
รูปที่ จ.1 ขนาดผลิตภัณฑ์ผงเงินจากสารตั้งต้นไม่บด

ขนาดผงเงินผลิตจากสารตั้งต้นซิลเวอร์ซัลเฟตขนาด 2.88 ไมครอน (สารตั้งต้นบดเป็นเวลา 5 ชั่วโมง)



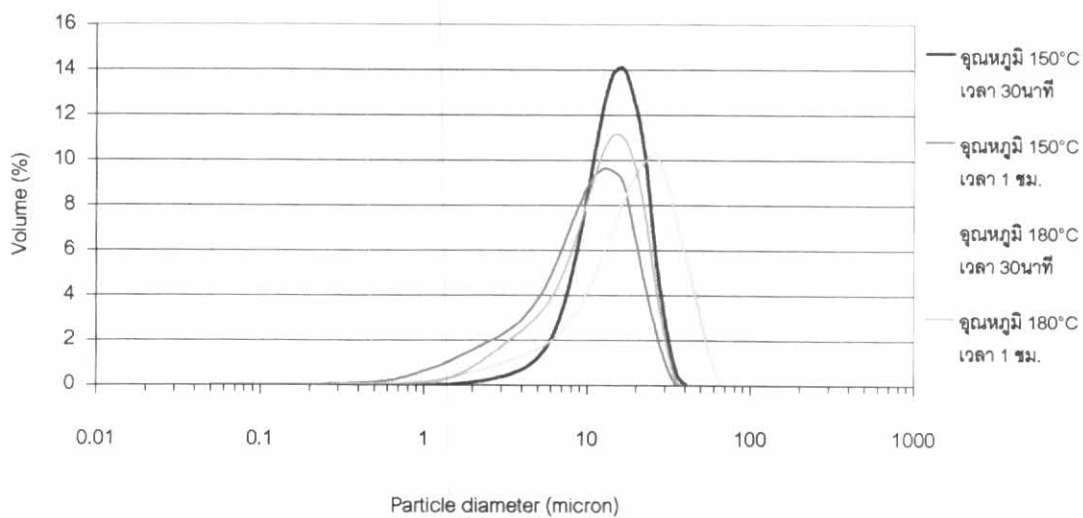
รูปที่ จ.2 ขนาดผลิตภัณฑ์ผงเงินจากสารตั้งต้นบด 5 ชั่วโมง

ขนาดผงเงินผลิตจากสารตั้งต้นซิลเวอร์ซัลเฟตขนาด 1.35 ไมครอน (สารตั้งต้นบดเป็นเวลา 10 ชั่วโมง)



รูปที่ ๙.3 ขนาดผลิตภัณฑ์ผงเงินจากสารตั้งต้นบด 10 ชั่วโมง

ขนาดผงเงินผลิตจากสารตั้งต้นซิลเวอร์ซัลเฟตขนาด 0.81 ไมครอน (สารตั้งต้นบดเป็นเวลา 20 ชั่วโมง)



รูปที่ ๙.4 ขนาดผลิตภัณฑ์ผงเงินจากสารตั้งต้นบด 20 ชั่วโมง



## ภาคผนวก จ

## การคำนวณหาขนาดผลึก

ขนาดของผลึกสามารถคำนวณได้จากกราฟ XRD โดยใช้สมการของ Debye-Scherrer จากสมการของ Scherrer [21]

$$t = \frac{K\lambda}{\beta \cos \theta}$$

เมื่อ  $t$  = ขนาดของผลึก, Å

$K$  = สัมประสิทธิ์รูปร่างผลึก = 0.9

$\lambda$  = ความยาวคลื่น X-ray, 1.5406 Å สำหรับ CuK $\alpha$

$\theta$  = มุมของความสูงคลื่น, องศา

$\beta$  = ความกว้างของ X-ray diffraction, radian

ความกว้างของ X-ray diffraction ( $\beta$ ) หาได้จากสูตรของ Warren

$$\beta^2 = \beta_M^2 - \beta_s^2$$

$$\beta = \sqrt{\beta_M^2 - \beta_s^2}$$

เมื่อ  $\beta_M$  = ความกว้าง ณ ตำแหน่งครึ่งของความสูงพีคที่สูงที่สุด

$\beta_s$  = ความกว้างของวัสดุมาตรฐาน

สำหรับผลึกขนาดใหญ่จุดยอดของกราฟ XRD จะแคบมาก ขณะที่ผลึกขนาดนาโนจุดยอดของกราฟ XRD จะกว้าง เพื่อความสะดวกจึงสมมติให้  $\beta_M \gg \beta_s$

### ที่มาของสมการ Scherrer

รูปที่ ๑.1 ความกว้างของกราฟ diffraction เพิ่มขึ้น ความกว้างของผลึกลดลง ความกว้าง  $\beta$  ปกติถูกวัดในหน่วย radian ที่ intensity เท่ากับครึ่งของ intensity สูงสุด จากการวัดค่าอย่างหยาบๆ ของ  $\beta$  เราสามารถหารสองผลต่างระหว่างมุมสองมุมที่มี intensity เป็นศูนย์หรือ

$$\beta = \frac{1}{2}(2\theta_1 - 2\theta_2) = \theta_1 - \theta_2$$

สมการผลต่างของเส้นทางสำหรับมุมทั้งสองคือ

$$2t \sin \theta_1 = (m+1)\lambda$$

$$2t \sin \theta_2 = (m-1)\lambda$$

สมการทั้งสองลบกันจะได้

$$t(\sin \theta_1 - \sin \theta_2) = \lambda$$

$$2t \cos\left(\frac{\theta_1 + \theta_2}{2}\right) \sin\left(\frac{\theta_1 - \theta_2}{2}\right) = \lambda$$

แต่  $\theta_1$  และ  $\theta_2$  ทั้งคู่มีค่าใกล้เคียงกันกับ  $\theta_\beta$  ดังนั้น

$$\theta_1 + \theta_2 = 2\theta_\beta \quad (\text{โดยการประมาณ})$$

$$\sin\left(\frac{\theta_1 - \theta_2}{2}\right) = \left(\frac{\theta_1 - \theta_2}{2}\right) \quad (\text{โดยการประมาณ})$$

ดังนั้น

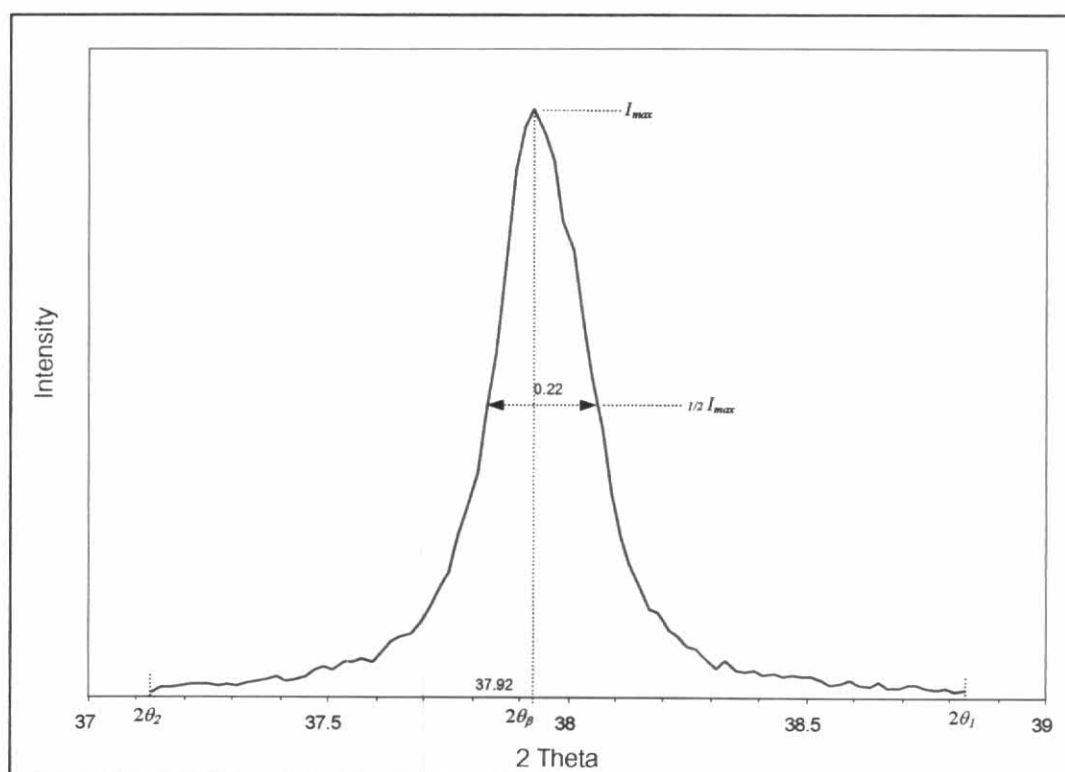
$$2t \left(\frac{\theta_1 - \theta_2}{2}\right) \cos \theta_\beta = \lambda$$

$$t = \frac{\lambda}{\beta \cos \theta_\beta}$$

ปรับปรุงมีความแม่นยำขึ้นโดย

$$t = \frac{0.9\lambda}{\beta \cos \theta_\beta}$$

## ตัวอย่างการคำนวณขนาดผลึกเงิน



รูปที่ จ.1 กราฟ XRD ณ ตำแหน่งซึ่งมี peak สูงสุด

ความกว้าง ณ ตำแหน่งครึ่งของความสูงพีคที่สูงสุด =  $0.22^\circ$  (จากรูปที่ จ.1)

$$= (2\pi \times 0.22) / 360$$

$$= 0.0038 \text{ radian}$$

$$\beta = 0.0038 \text{ radian}$$

$$2\theta = 37.92^\circ$$

$$\lambda = 1.5406 \text{ \AA}$$

$$\theta = 18.96^\circ$$

$$\text{ขนาดผลึก (D)} = \frac{0.9 \times 1.5406}{0.0038 \cos 18.96} = 367.12 \text{ \AA} = 36.71 \text{ nm}$$

## ภาคผนวก ช

ตารางที่ ข.1 แสดงพื้นที่ผิวของผงเงินจากกระบวนการผลิต

| การทดลอง | สารตั้งต้น    | สภาวะที่ใช้ทำการทดลอง         | พื้นที่ผิว (m <sup>2</sup> /g) |
|----------|---------------|-------------------------------|--------------------------------|
| 1        | ไม่บด         | อุณหภูมิ 150°C เวลา 30 นาที   | 2.79                           |
| 2        | บด 5 ชั่วโมง  |                               | 1.37                           |
| 3        | บด 10 ชั่วโมง |                               | 1.04                           |
| 4        | บด 20 ชั่วโมง |                               | 1.30                           |
| 5        | ไม่บด         | อุณหภูมิ 150°C เวลา 1 ชั่วโมง | 2.79                           |
| 6        | บด 5 ชั่วโมง  |                               | 1.85                           |
| 7        | บด 10 ชั่วโมง |                               | 2.35                           |
| 8        | บด 20 ชั่วโมง |                               | 2.04                           |
| 9        | ไม่บด         | อุณหภูมิ 180°C เวลา 30 นาที   | 2.51                           |
| 10       | บด 5 ชั่วโมง  |                               | 1.19                           |
| 11       | บด 10 ชั่วโมง |                               | 1.62                           |
| 12       | บด 20 ชั่วโมง |                               | 1.94                           |
| 13       | ไม่บด         | อุณหภูมิ 180°C เวลา 1 ชั่วโมง | 2.85                           |
| 14       | บด 5 ชั่วโมง  |                               | 1.51                           |
| 15       | บด 10 ชั่วโมง |                               | 1.93                           |
| 16       | บด 20 ชั่วโมง |                               | 1.61                           |

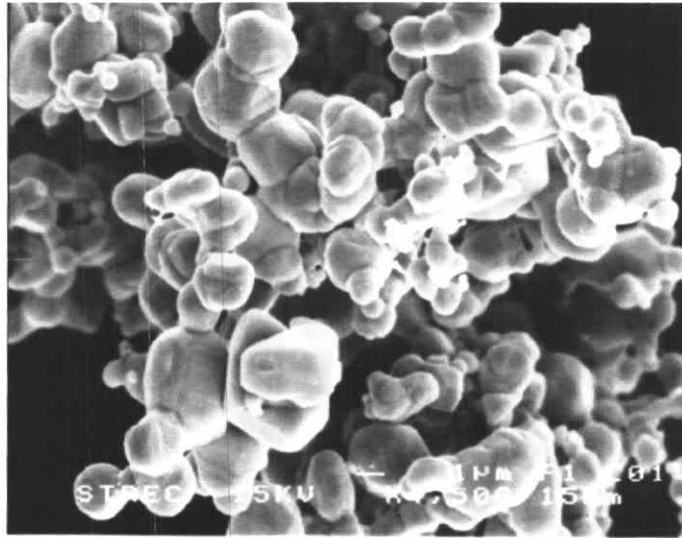
## ภาคผนวก ช

ตารางที่ ช.1 แสดงความหนาแน่นของผงเงินจากกระบวนการผลิต

| สารตั้งต้น    | สภาวะที่ใช้ทำการทดลอง            | Apparent density<br>(g/ml) | Tap density<br>(g/ml) |
|---------------|----------------------------------|----------------------------|-----------------------|
| ไม่บด         | อุณหภูมิ 150°C<br>เวลา 30 นาที   | 0.96                       | 1.75                  |
| บด 5 ชั่วโมง  |                                  | 1.15                       | 1.26                  |
| บด 10 ชั่วโมง |                                  | 0.98                       | 1.20                  |
| บด 20 ชั่วโมง |                                  | 0.81                       | 0.81                  |
| ไม่บด         | อุณหภูมิ 150°C<br>เวลา 1 ชั่วโมง | 0.88                       | 1.17                  |
| บด 5 ชั่วโมง  |                                  | 0.92                       | 0.96                  |
| บด 10 ชั่วโมง |                                  | 0.82                       | 1.08                  |
| บด 20 ชั่วโมง |                                  | 0.82                       | 0.82                  |
| ไม่บด         | อุณหภูมิ 180°C<br>เวลา 30 นาที   | 0.84                       | 1.19                  |
| บด 5 ชั่วโมง  |                                  | 1.05                       | 1.21                  |
| บด 10 ชั่วโมง |                                  | 0.87                       | 1.09                  |
| บด 20 ชั่วโมง |                                  | 0.70                       | 0.78                  |
| ไม่บด         | อุณหภูมิ 180°C<br>เวลา 1 ชั่วโมง | 0.83                       | 1.09                  |
| บด 5 ชั่วโมง  |                                  | 0.94                       | 1.16                  |
| บด 10 ชั่วโมง |                                  | 0.80                       | 1.06                  |
| บด 20 ชั่วโมง |                                  | 0.66                       | 0.69                  |

### ภาคผนวก ฉ

การทดสอบว่าซิลเวอร์ซัลเฟตสามารถถูกรีดิวซ์ด้วยกลีเซอรอลได้หรือไม่ โดยการเติมซิลเวอร์ซัลเฟตลงในกลีเซอรอลพร้อมทั้งให้ความร้อนที่อุณหภูมิ 180°C เป็นเวลา 1 ชั่วโมง นำสารที่ได้ล้างด้วย ethanol absolute และทำให้แห้งจากนั้นนำไปวิเคราะห์ด้วย EDX (อิเล็กตรอนสามารถทะลุผ่านได้ลึก 0.36 ไมครอน) ผลจาก EDX พบว่ายังมีธาตุกำมะถัน (S) อยู่



รูปที่ ฉ.1 ซิลเวอร์ซัลเฟตหลังจากถูกรีดิวซ์ด้วยกลีเซอรอลที่อุณหภูมิ 180°C เป็นเวลา 1 ชั่วโมง

#### Calculated electron penetration

$$R = \frac{4120}{\rho} E^{(1.265-0.954 \ln E)}$$

Where;      R      = Penetration, microns  
                  E      = Primary electron energy, Mev  
                   $\rho$       = absorber density, g/cm<sup>3</sup>,  $\rho_{Ag} = 10.49$

Substitute E = 15 kV = 0.015 MeV,

$$R = \frac{4120}{10.49} 0.015^{(1.265-0.954 \ln 0.015)} = 0.36 \text{ micron}$$

## ประวัติผู้เขียนวิทยานิพนธ์

นายกิตติพร วงษ์สุวรรณ เกิดเมื่อวันที่ 7 มีนาคม 2525 เริ่มเข้าศึกษาระดับอุดมศึกษาที่ ภาควิชาวิศวกรรมเคมี คณะวิศวกรรมศาสตร์ มหาวิทยาลัยมหิดล เมื่อปี พ.ศ. 2543 และสำเร็จ การศึกษาระดับปริญญาตรี หลักสูตรวิศวกรรมศาสตรบัณฑิต สาขาวิศวกรรมเคมีในปี พ.ศ. 2547 จากนั้นเข้าศึกษาต่อในหลักสูตรวิศวกรรมโลหการมหาบัณฑิตจุฬาลงกรณ์มหาวิทยาลัยเมื่อปี พ.ศ. 2547